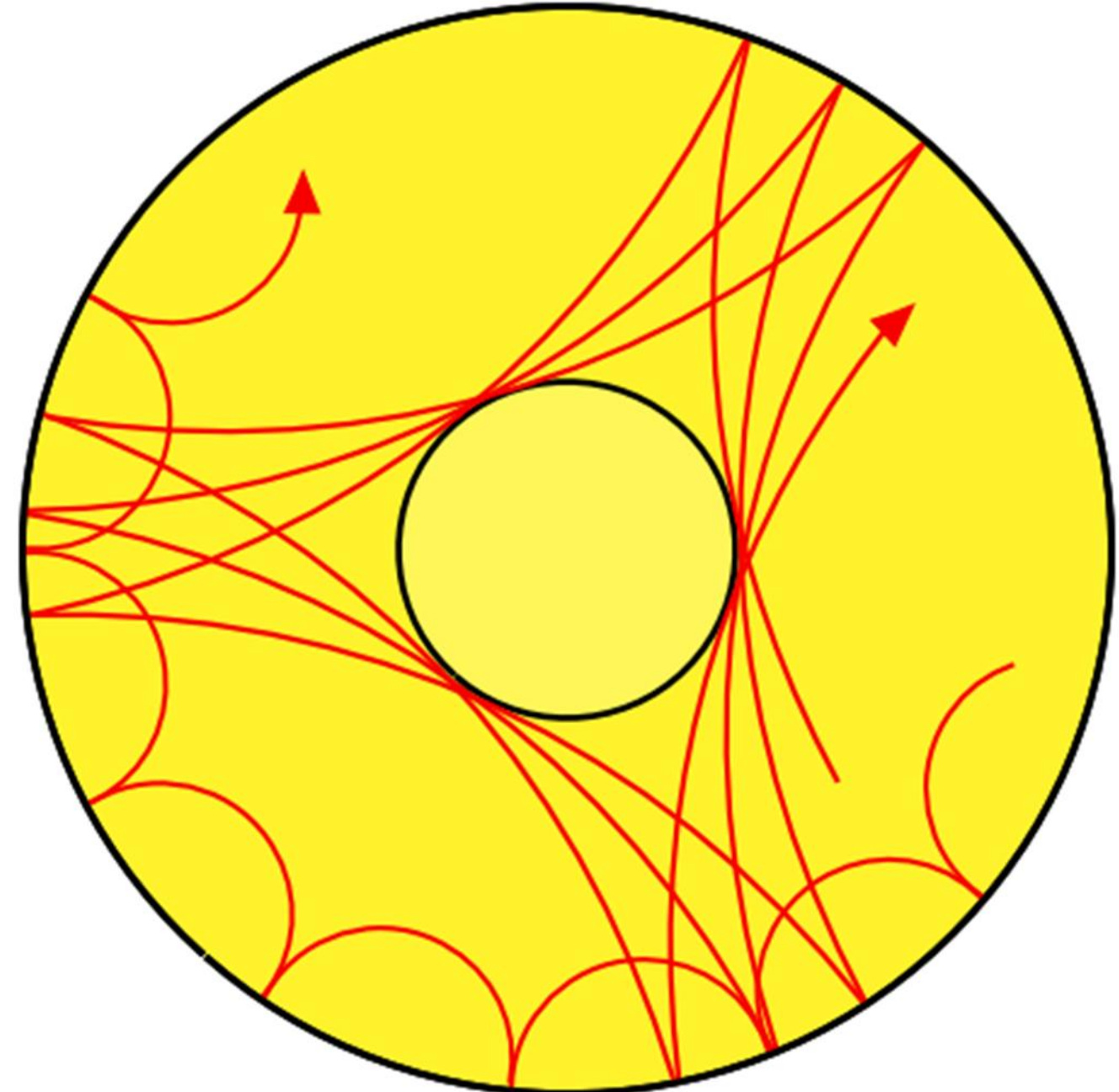
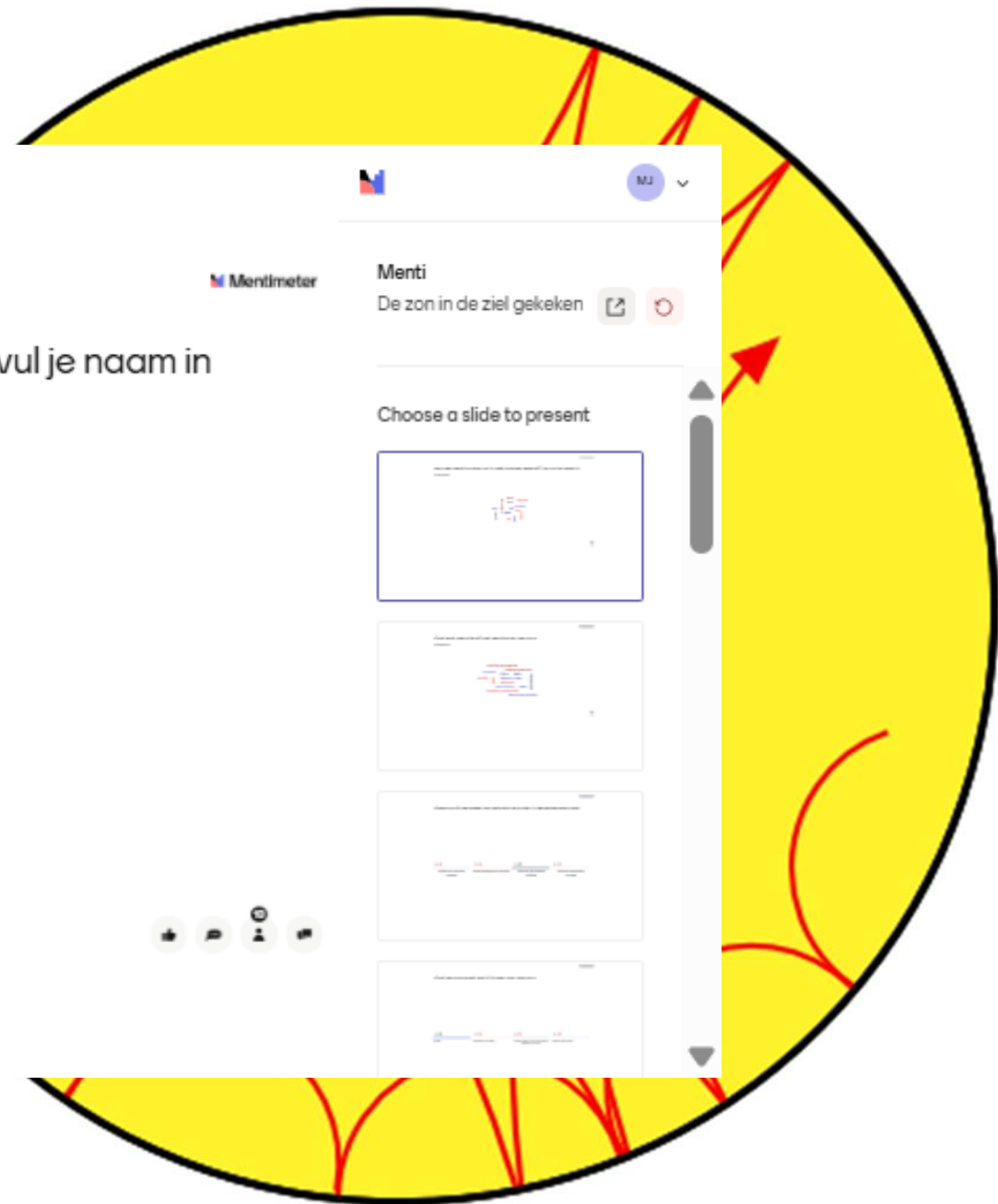


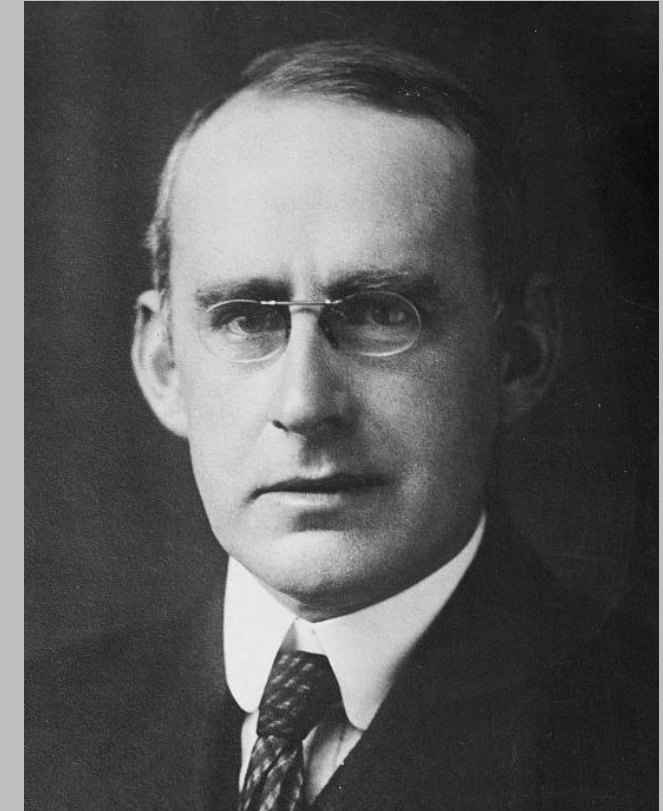
# De Zon in de ziel gekeken

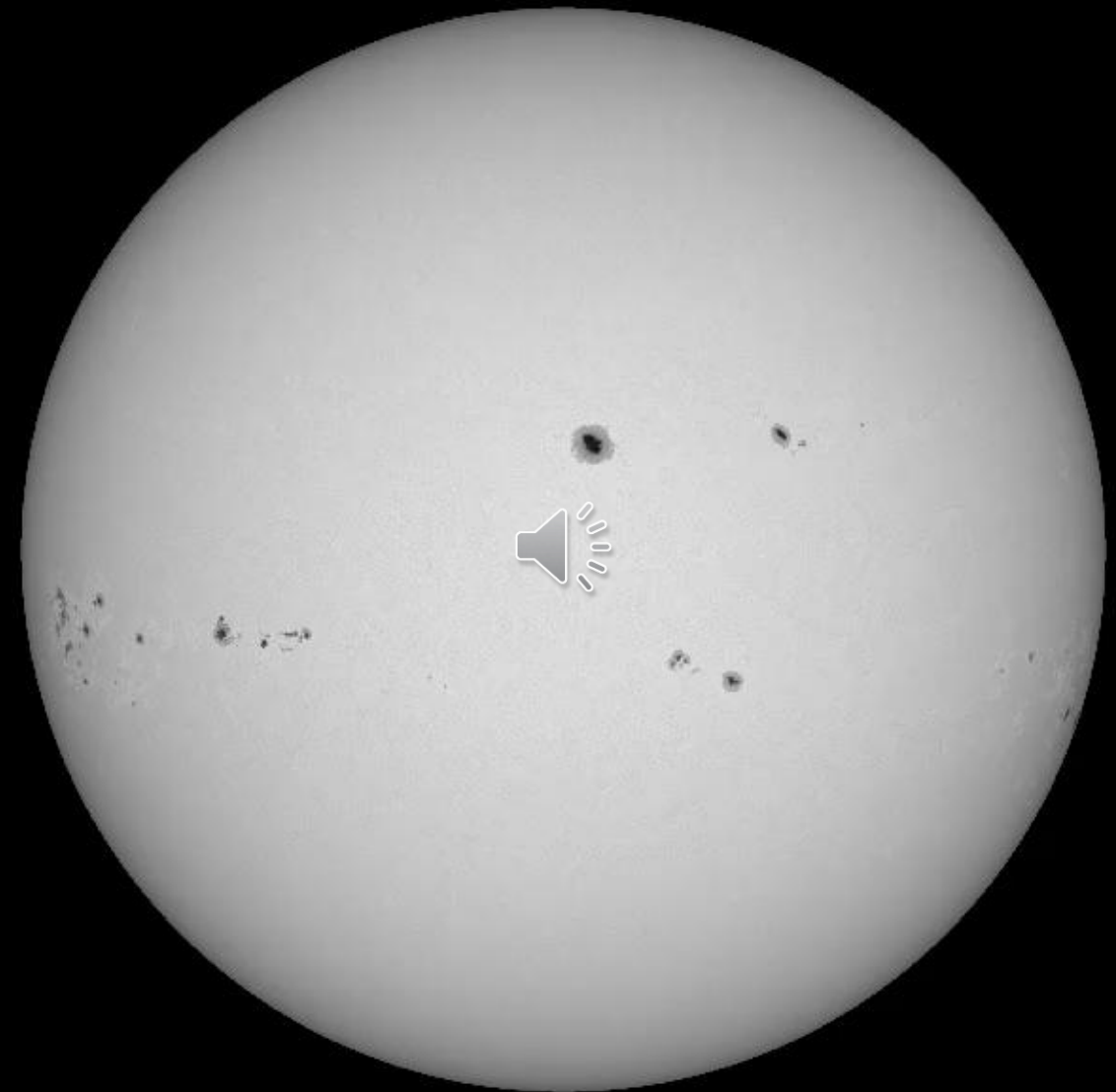
Martien Jacobs  
20 maart 2025





Arthur Eddington began his book “The Internal Constitution of the Stars” saying that “*At first sight it would seem that the deep interior of the sun and stars is less accessible to scientific investigation than any other region of the universe. Our telescopes may probe farther and farther into the depths of space; but how can we ever obtain certain knowledge of that which is hidden behind substantial barriers? What appliance can pierce through the outer layers of a star and test the conditions within?*” (Eddington, 1926).





Join at menti.com | use code 5474 7411

## Wat wat denk je bij het geluid van de zon?

15 responses

aciustische conversie  
trillingen oppervlak  
stromingen      toetrr      trilling  
vibratie      zoem      stofzuiger  
brommen  
misthoorn  
radio signaal      slaap  
beweging oppervlakte  
elecyrische variaties

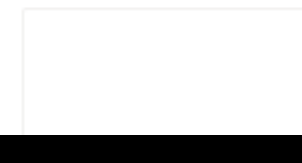
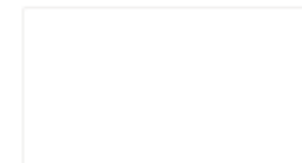
Mentimeter

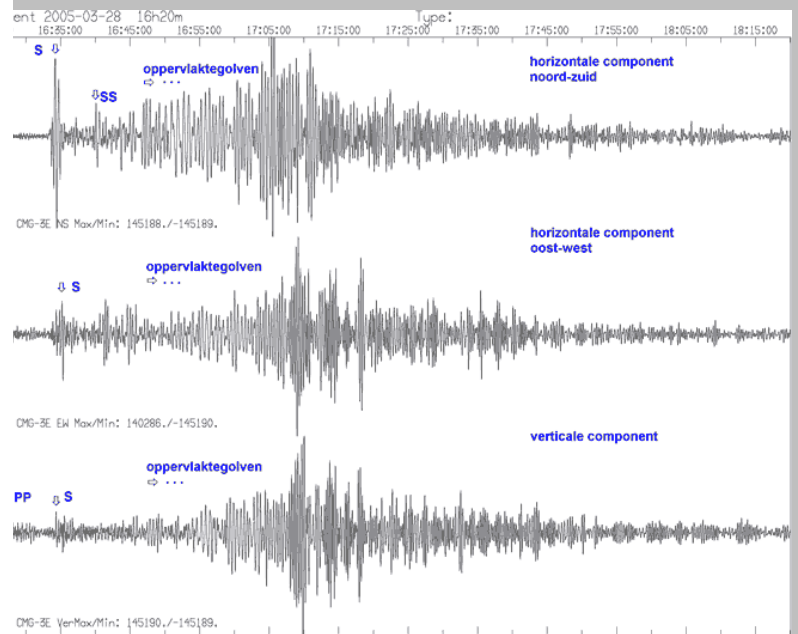
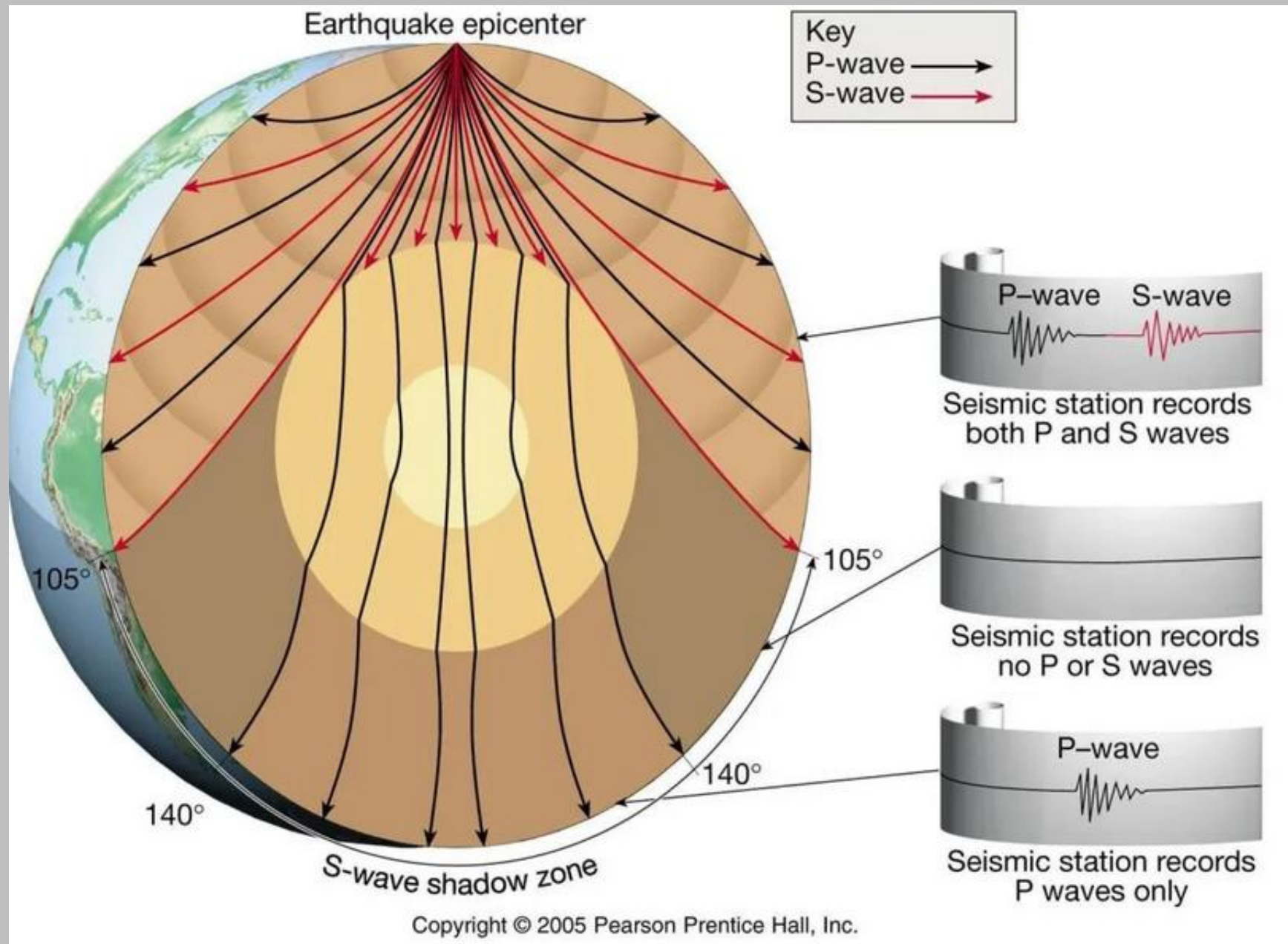
Menti

De zon in de ziel gekken



Choose a slide to present





## Earthquake epicenter



Key

P-wave →

Join at [menti.com](https://menti.com) | use code 54747411

Mentimeter

Waarom zijn de paden van seismische golven in de aarde gekromd?

5 ✕



Omdat druk naar binnen  
toeneemt

1 ✕

Omdat de temperatuur toeneemt

1 ✓

Omdat de geluidsnheid  
toeneemt

5 ✕



Omdat de samenstelling  
verandert



wave shadow ↗

P waves only

Copyright © 2005 Pearson Prentice Hall, Inc.

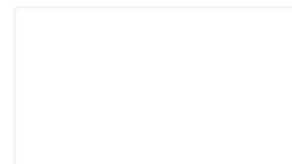


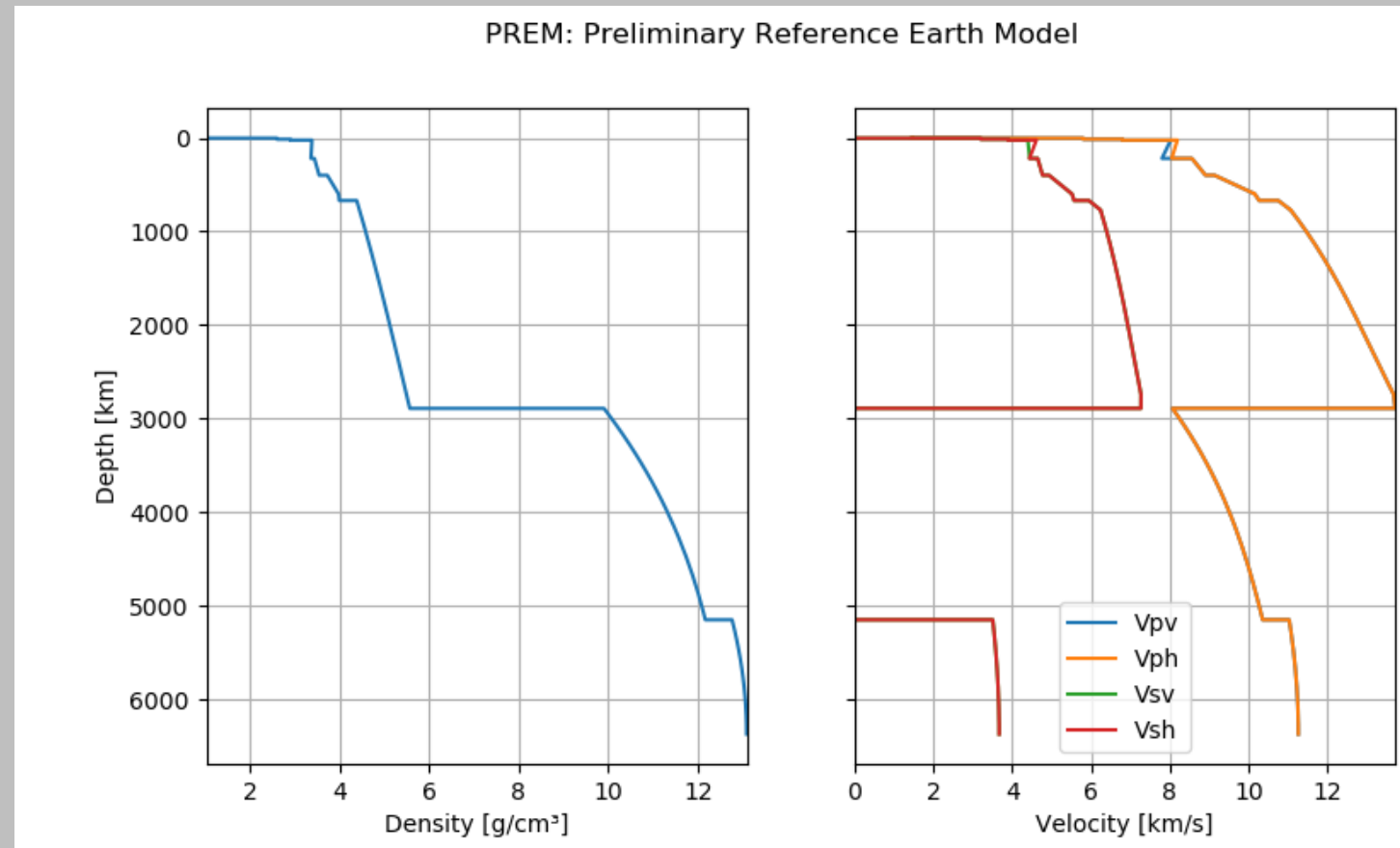
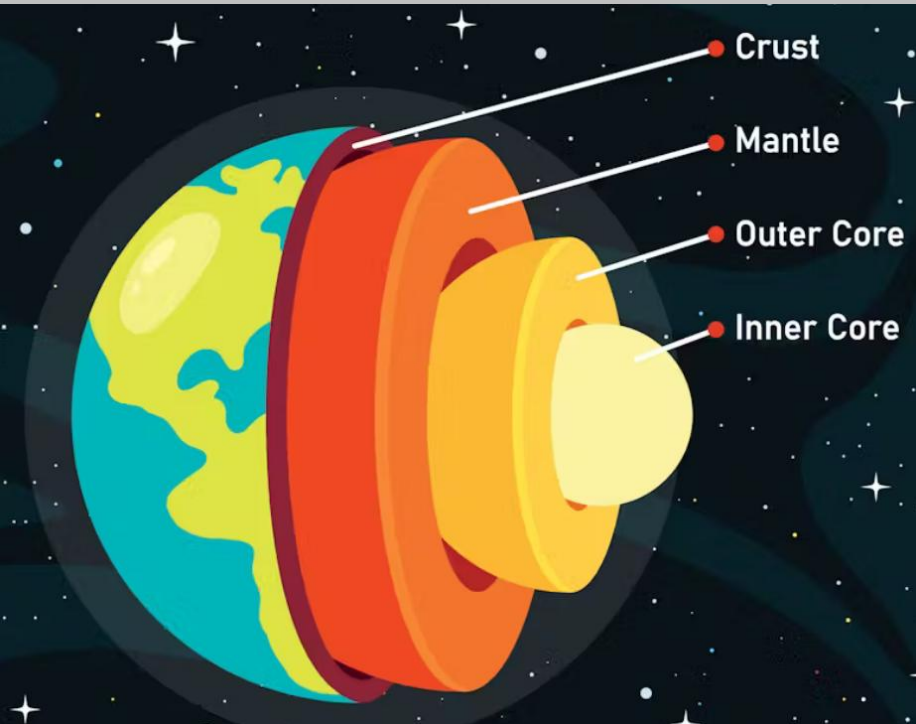
Menti

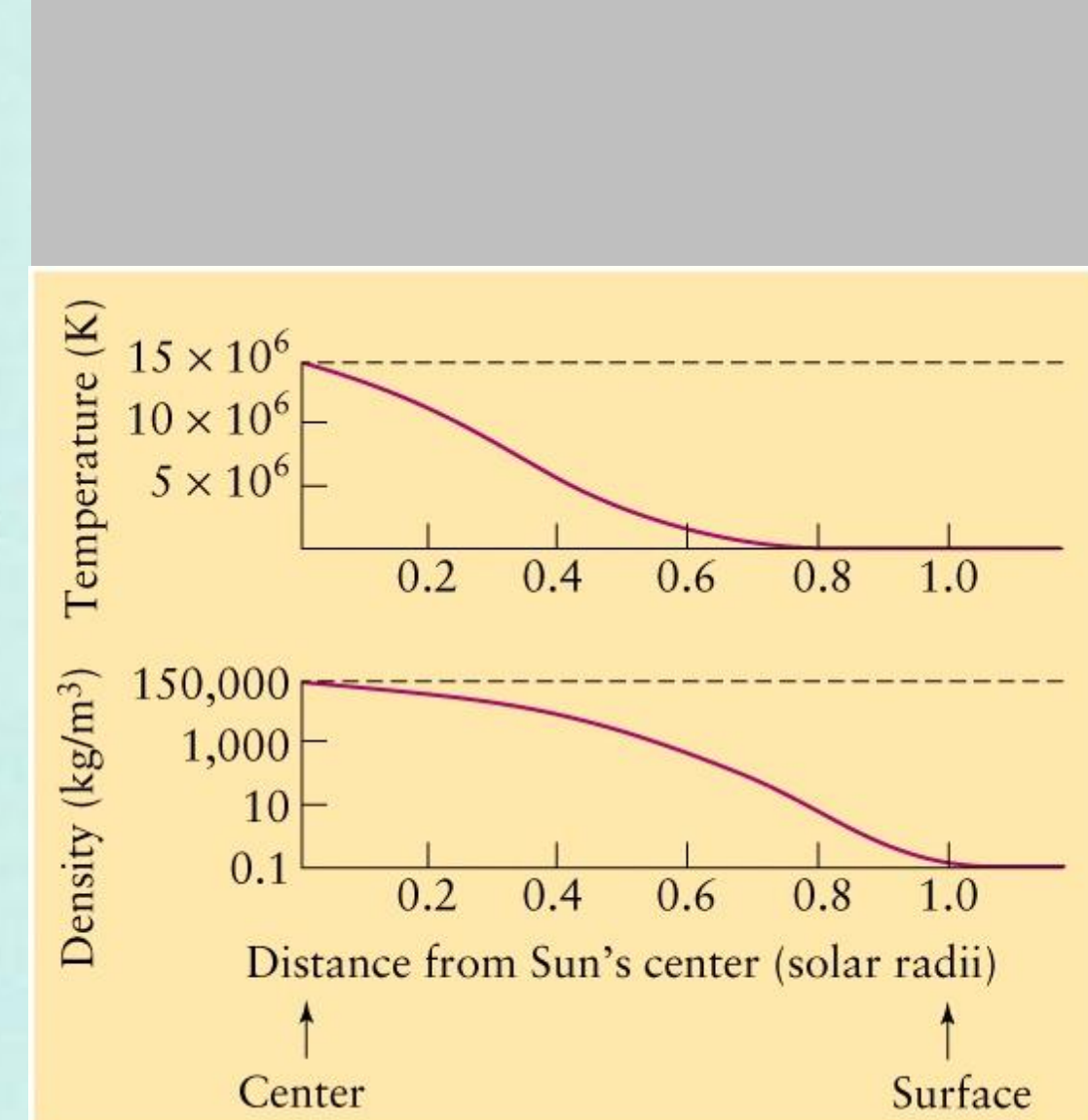
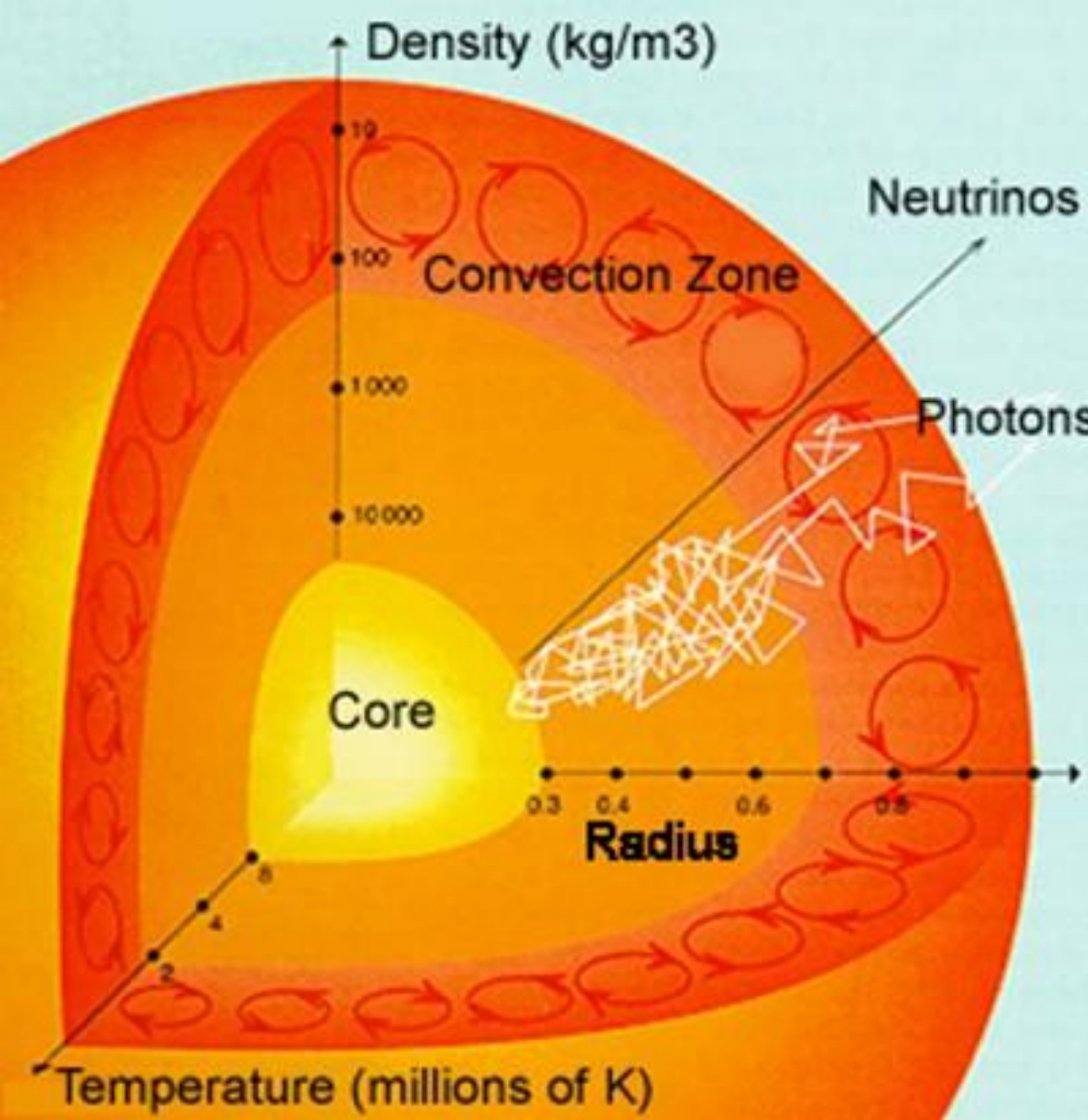
De zon in de ziel gekeken



Choose a slide to present







Density ( $\text{kg/m}^3$ )

19

Join at [menti.com](https://menti.com) | use code 5474 7411

Mentimeter

Menti

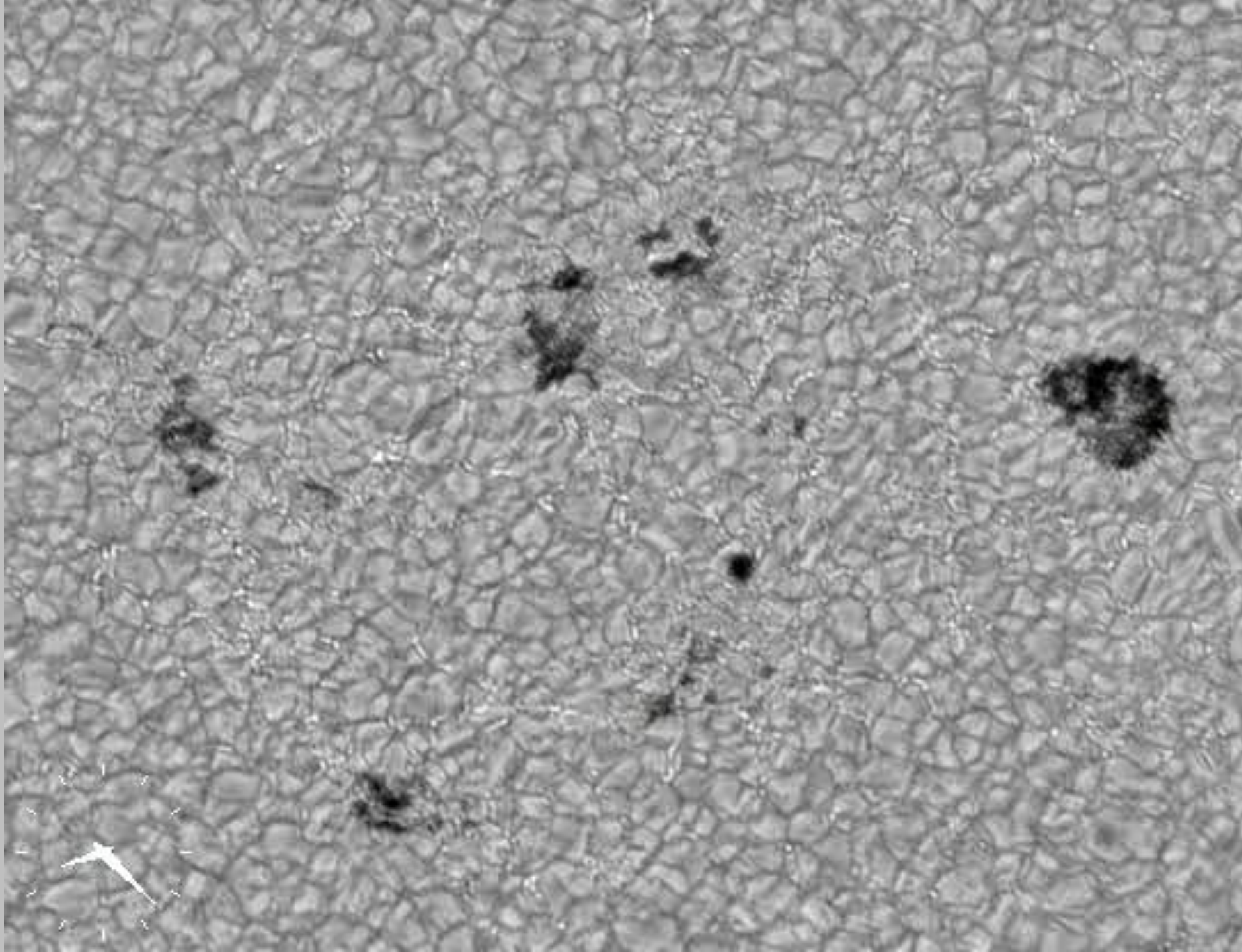
De zon in de ziel gekken

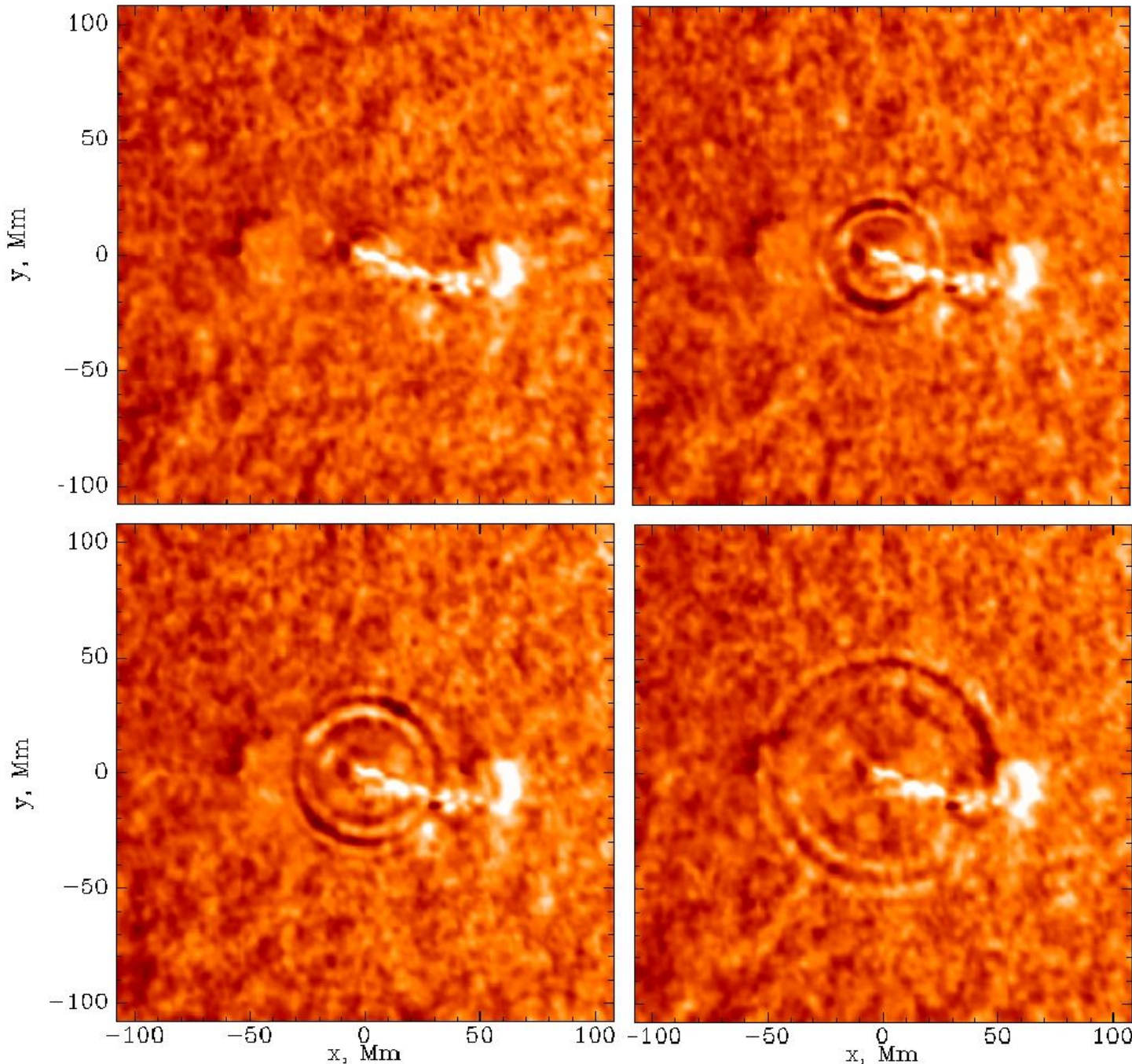
## Wat veroorzaakt de trillingen van de zon?

- 1 ✓ Granulatie
- 4 ✗ Turbulente in de convectielag
- 3 ✗ periodieke variaties van de energieproductie in de buitenstelagen van de kern
- 1 ✗ Explosies in octetve gebieden

Choose a slide to present







Join at menti.com | use code 5474 7411

Mentimeter

## Hoe kan de zon continu waargenomen worden?

5



Vanuit de ruimte in Lagrange punt  
2

1

Vanuit de ruimte in een lage baan  
om de aarde

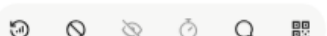
5

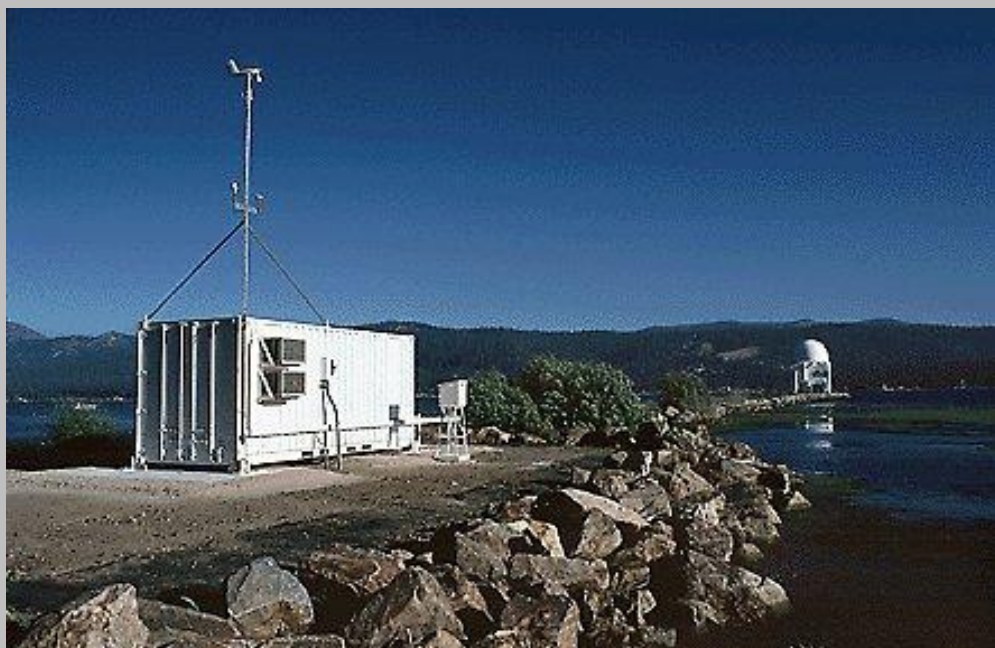
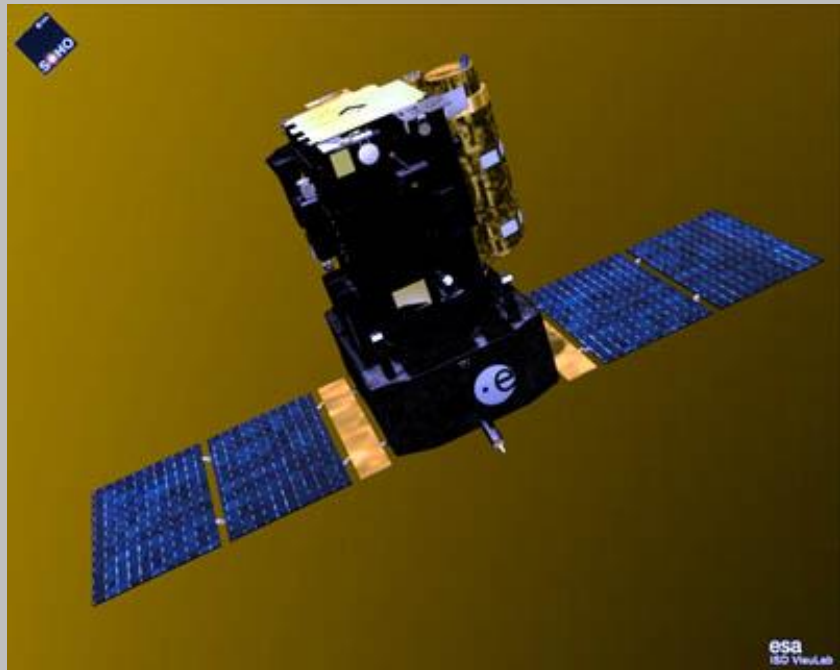


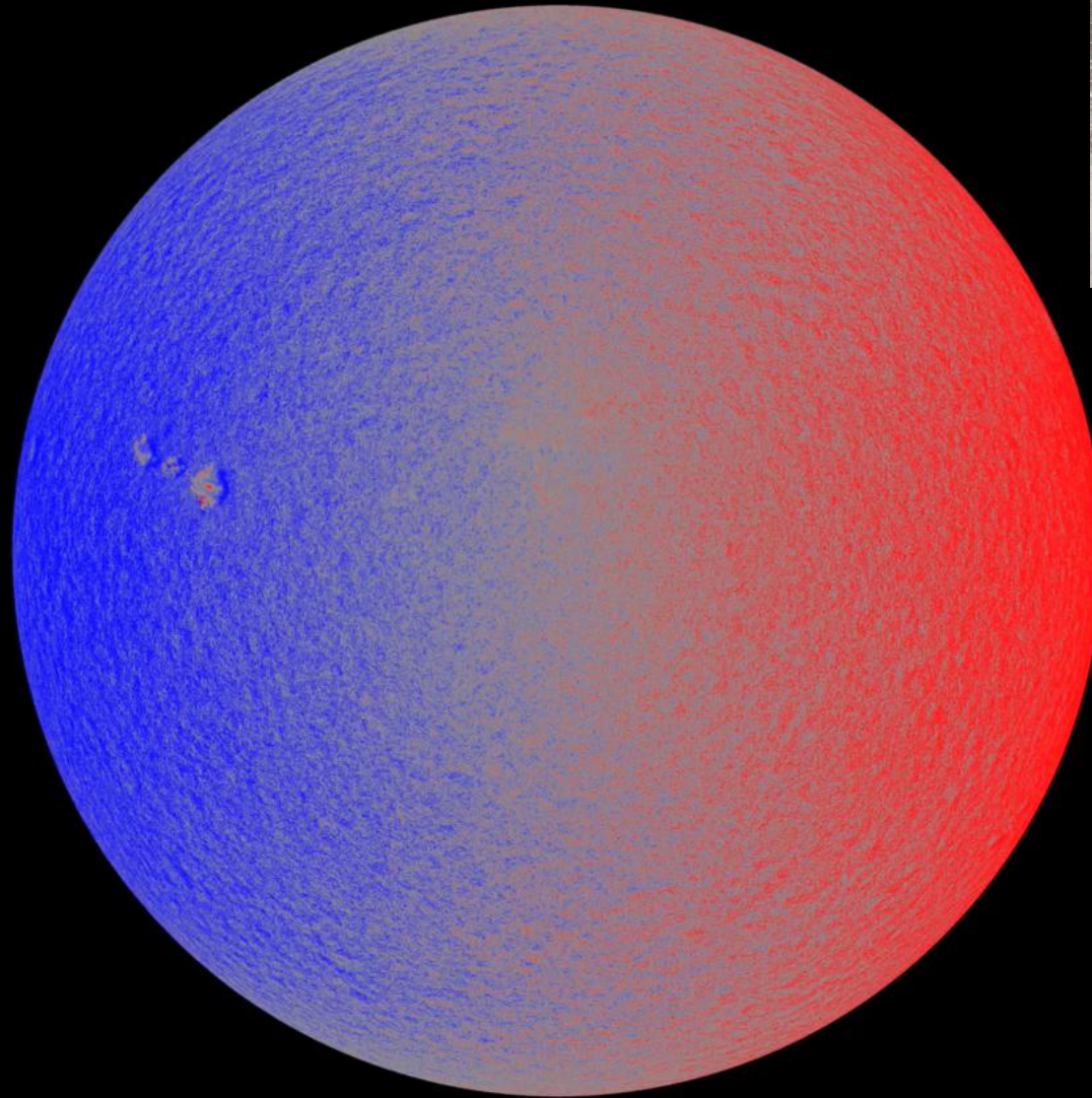
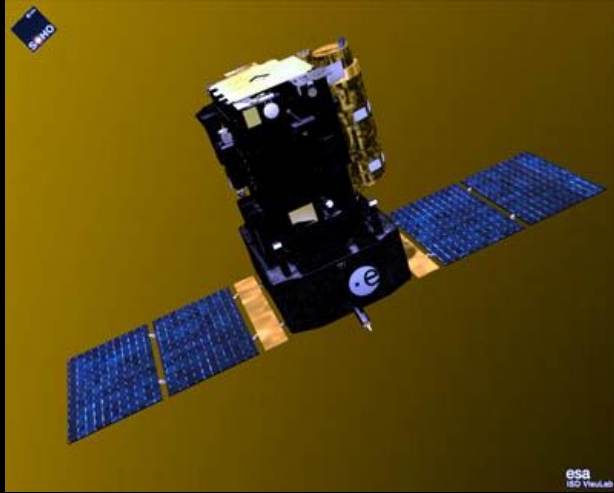
Door combinatie van een aantal  
telescopen

0

Op de Zuidpool



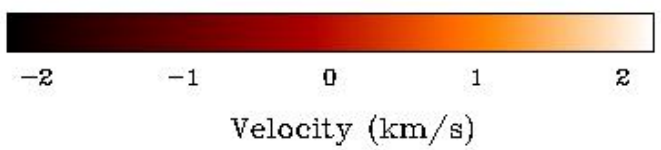
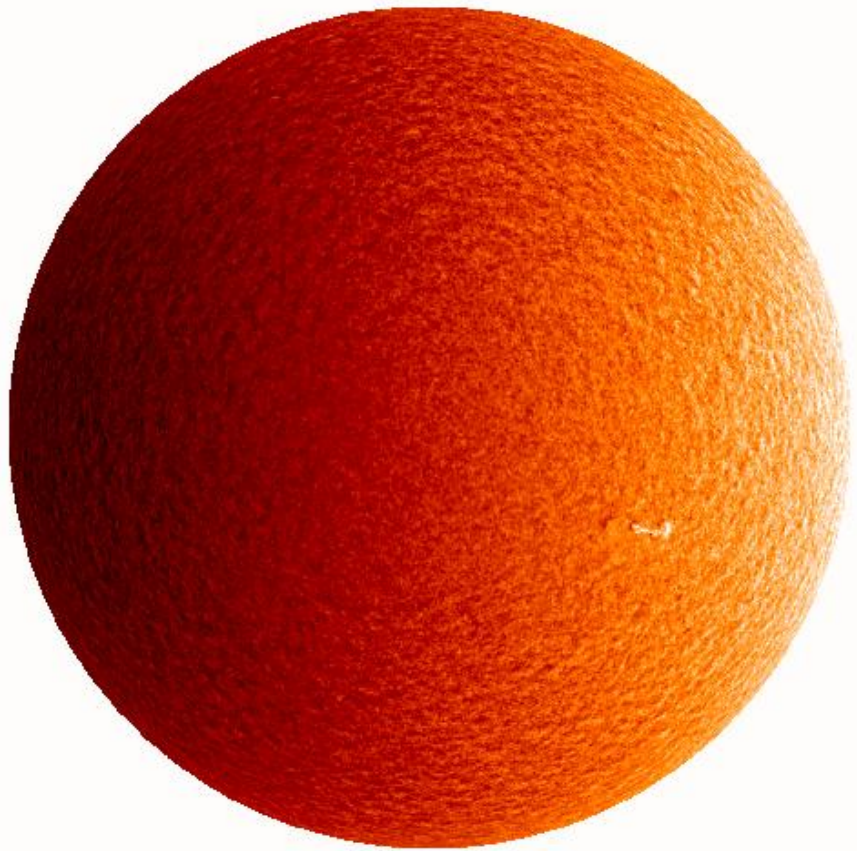




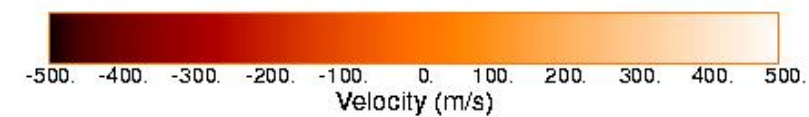
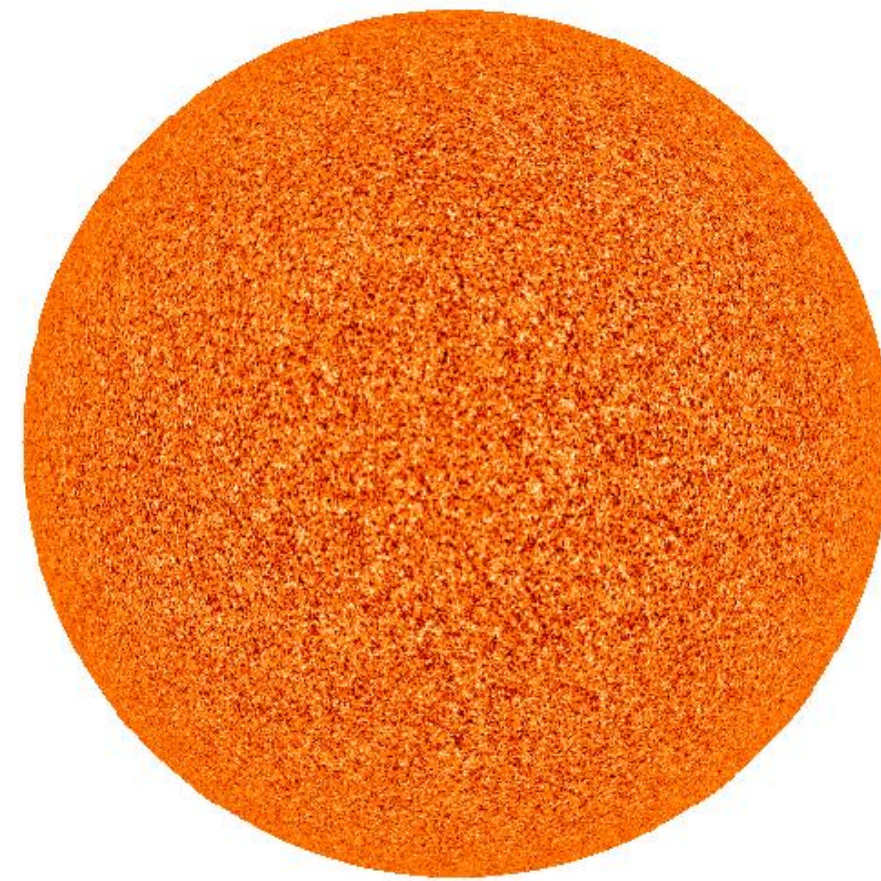
2011 Sep 25 08:00:00



Full-disk Dopplergram  
9 July 1996, 9:00:00



Single Dopplergram Minus 45 Images Average  
(30-MAR-96 19:54:00)



SOI / MDI

Stanford Lockheed Institute for Space Research



Join at [menti.com](https://menti.com) | use code 5474 7411

 Mentimeter

Wat is de periode van de trillingen met de hoogste intensiteit op de zon

3



Een paar dagen

3



Een paar uur

2



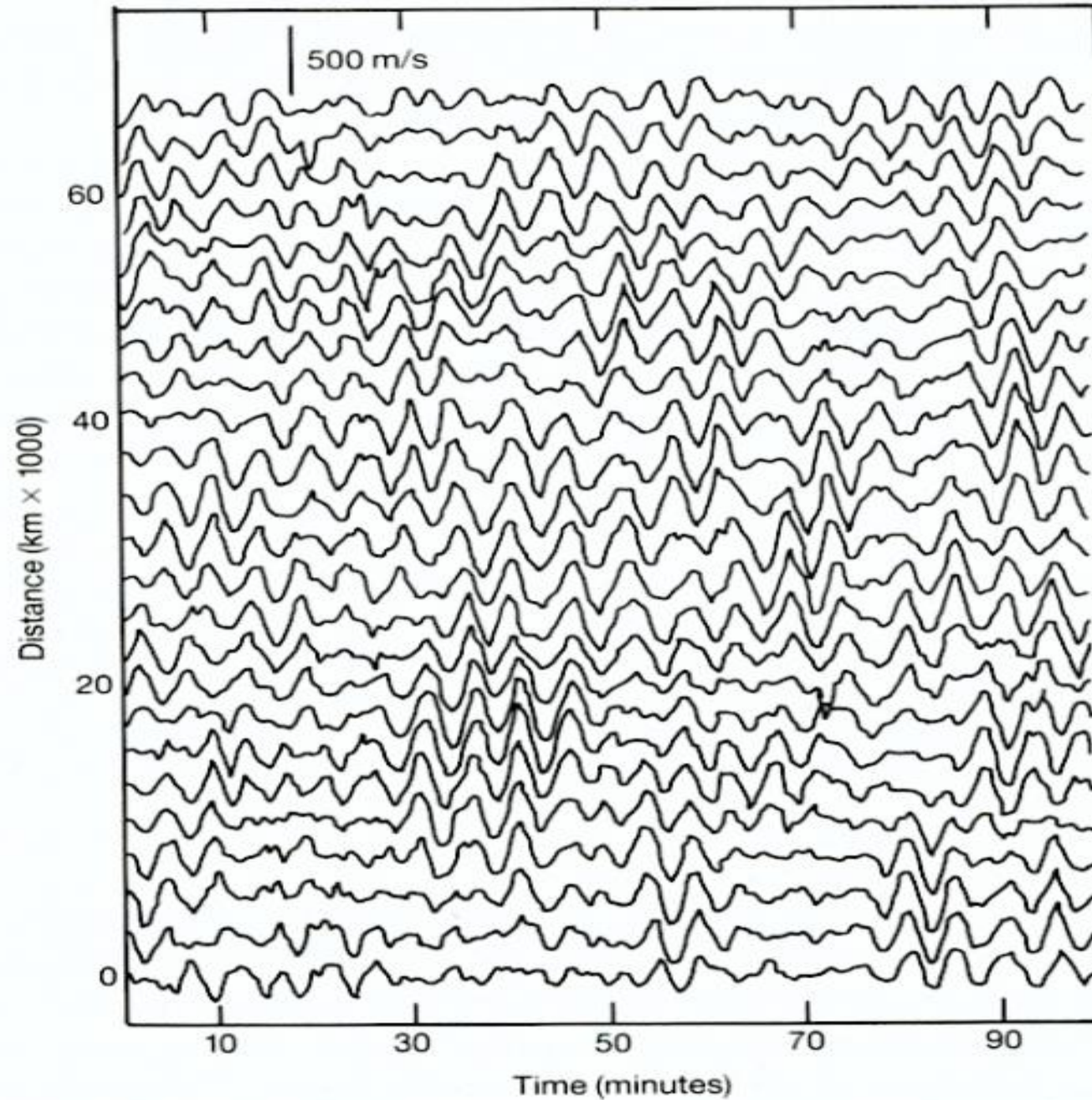
Een paar minuten



Time (minutes)

baum &

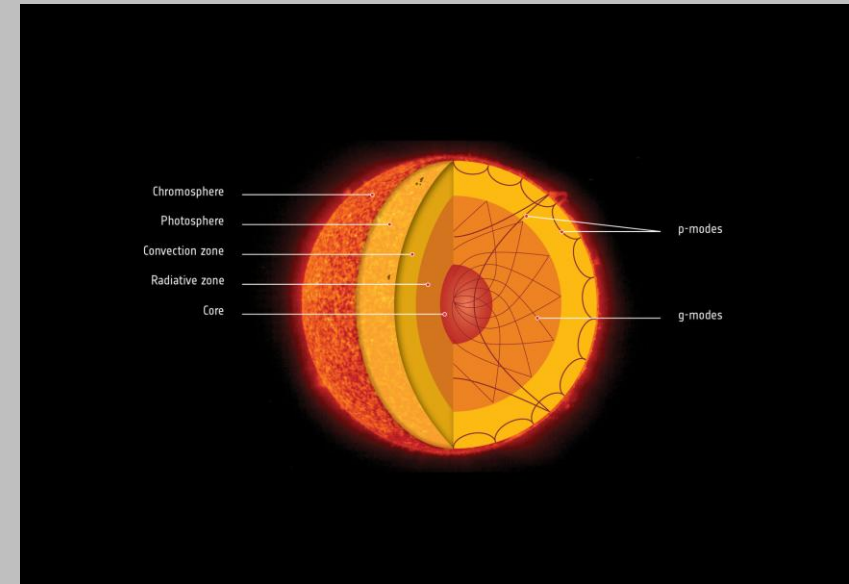
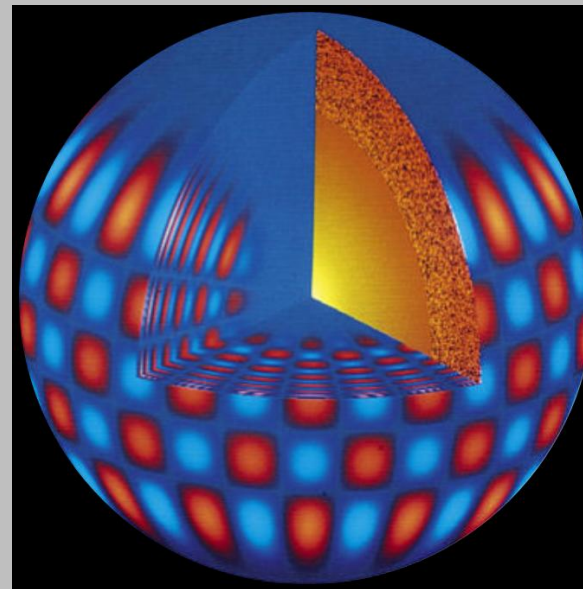
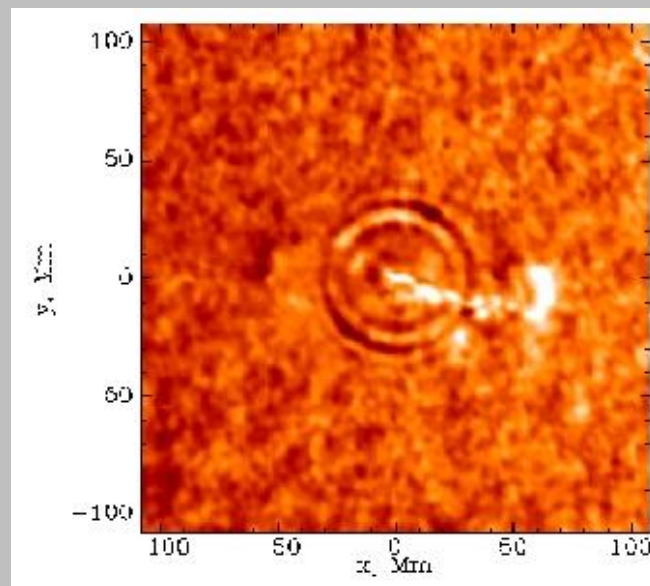
Lidia van Driel-Gesztelyi  
lvdg@mssl.ucl.ac.uk

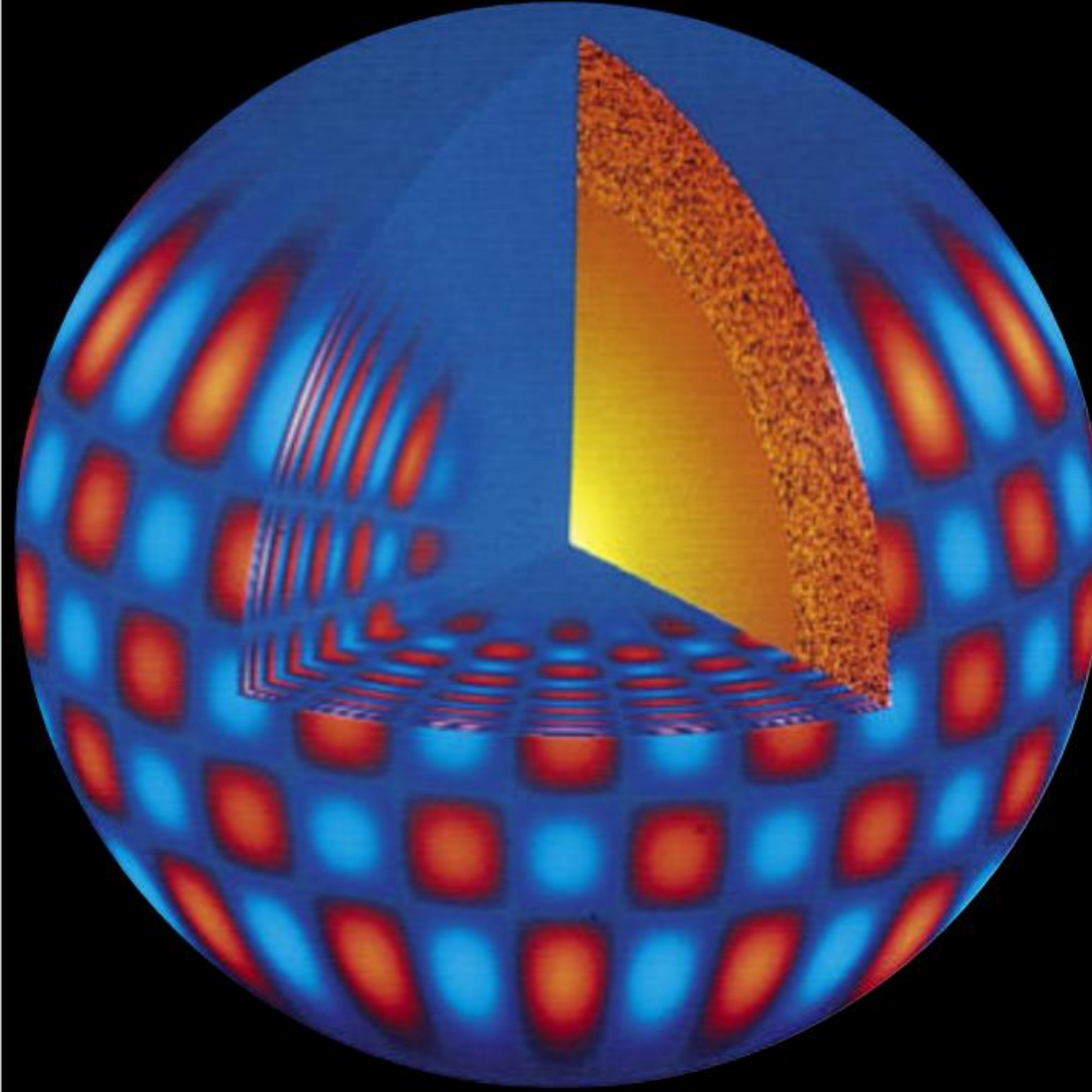


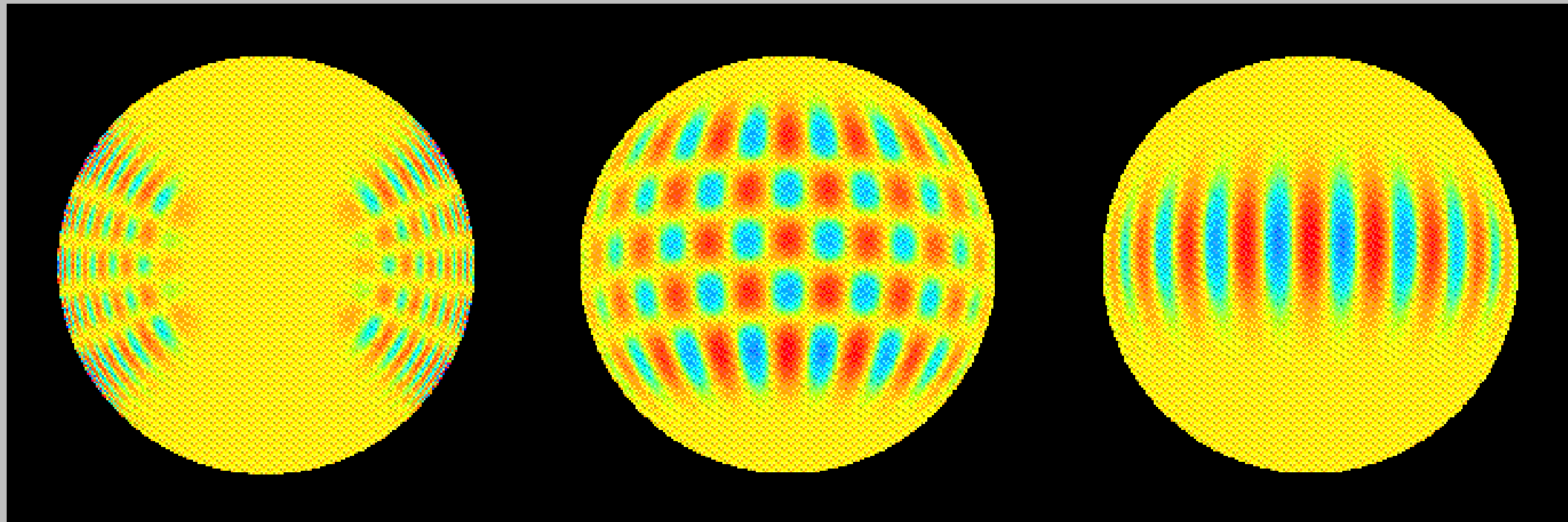
Howard, Tanenbaum &  
Wilcox, 1968

## Soorten golven in de zon

- Oppervlaktegolven, ofwel f waves
- Druk- of geluidsgolven, p waves
- Zwaartekrachtgolven; g waves



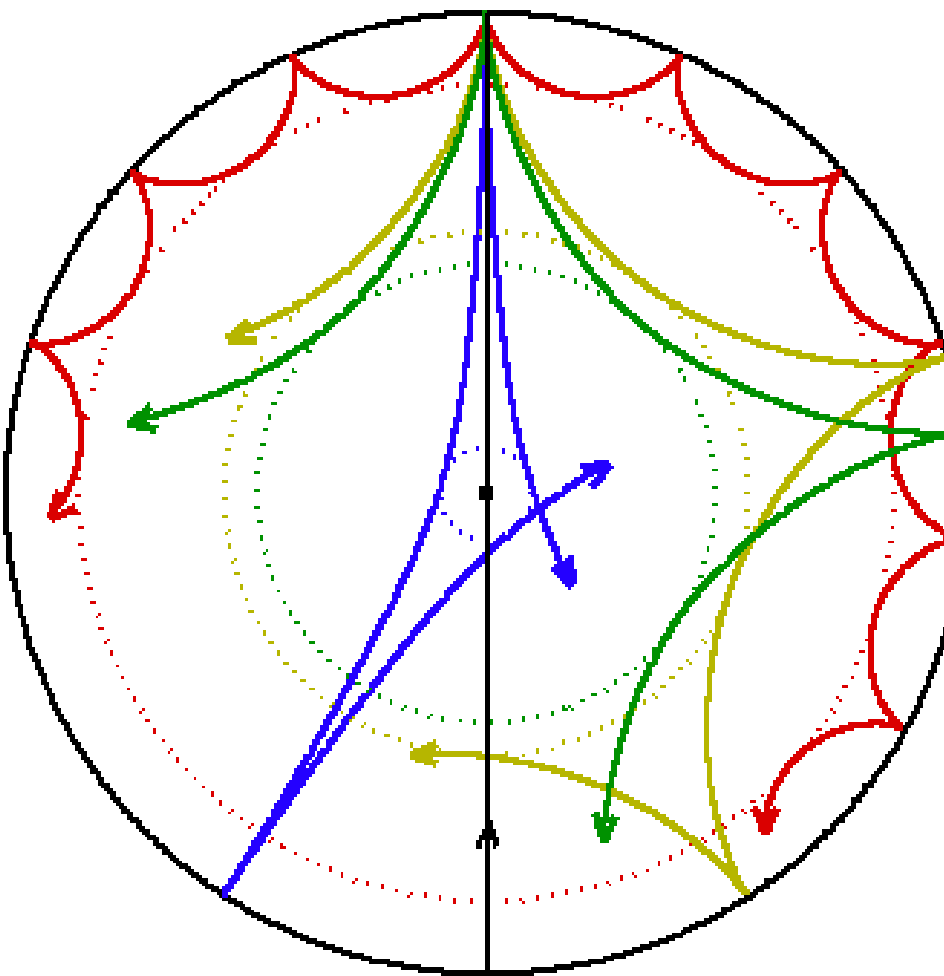
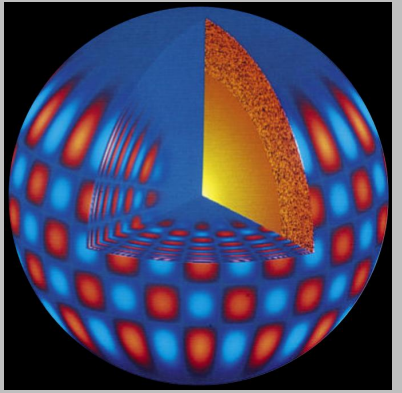




*The  $\ell=20$   $m=16$  mode*



<https://solarscience.msfc.nasa.gov/Helioseismology.shtml>



Join at menti.com | use code 5474 7411

Mentimeter

## Helioseismologie is seismologie van de zon kan dat ook bij sterren?

2



Neen want je kunt geen details op het oppervlak zien

1



Ja maar alleen bij heel heldere sterren

5



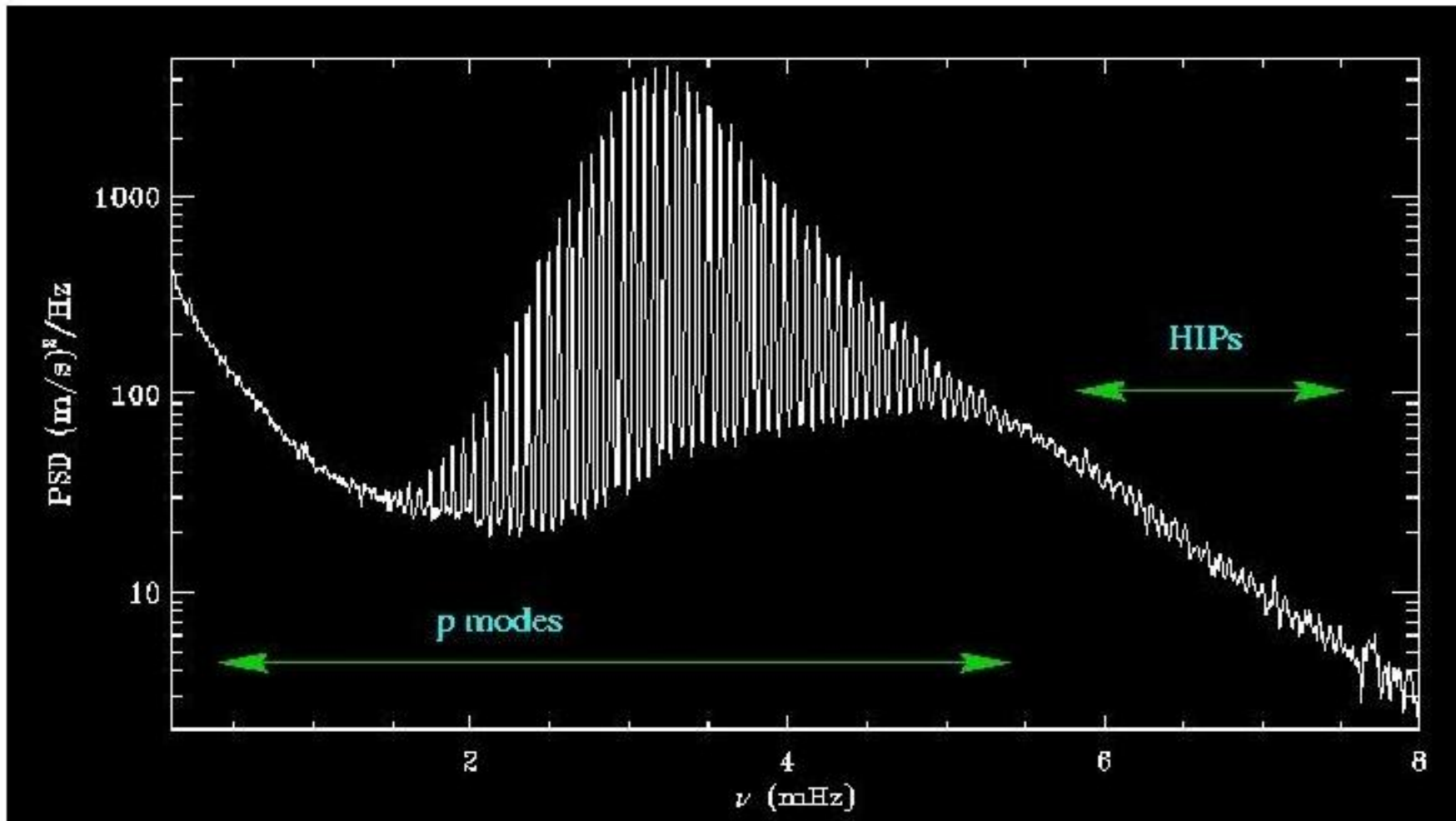
Ja maar met beperkte mogelijkheden

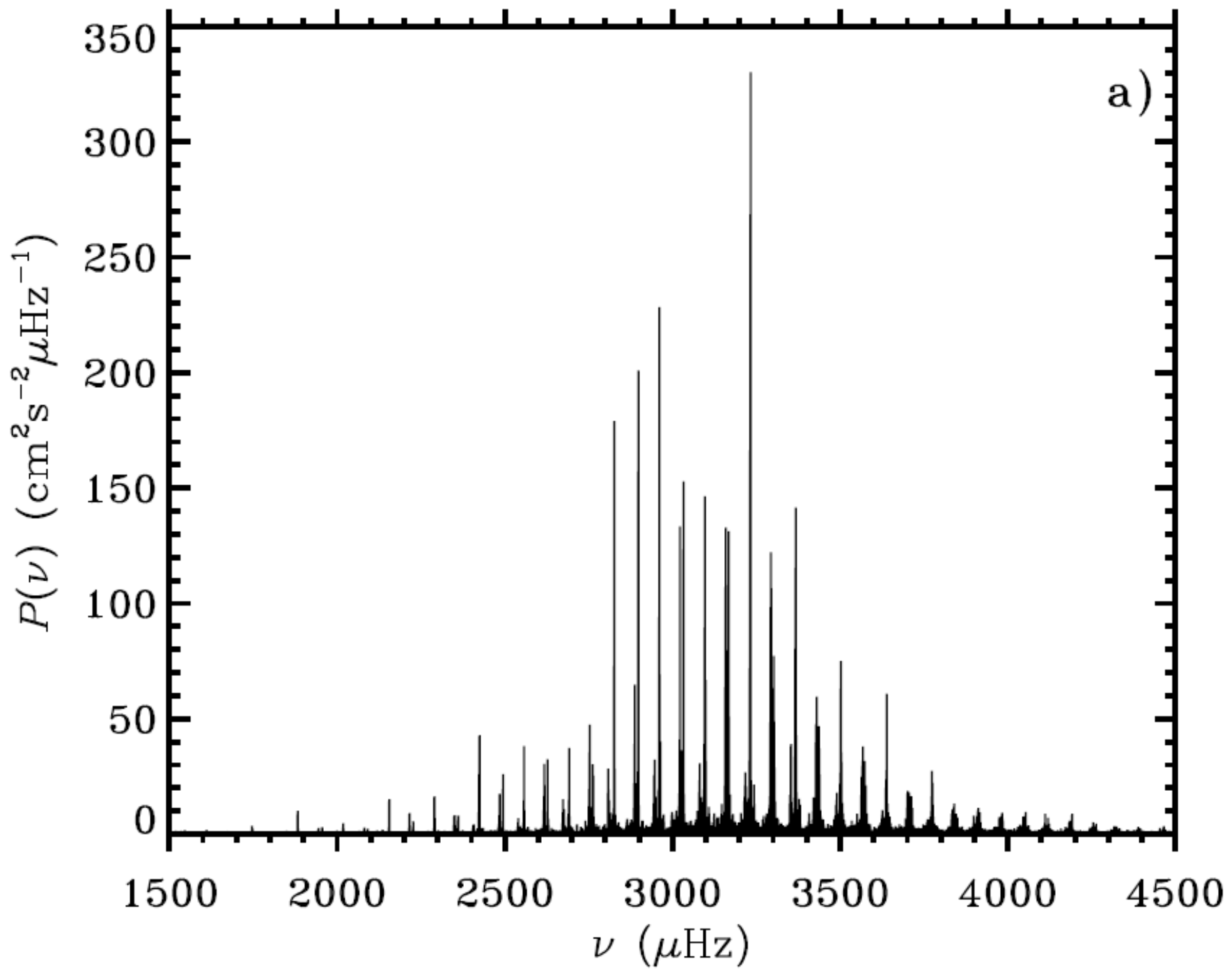
0

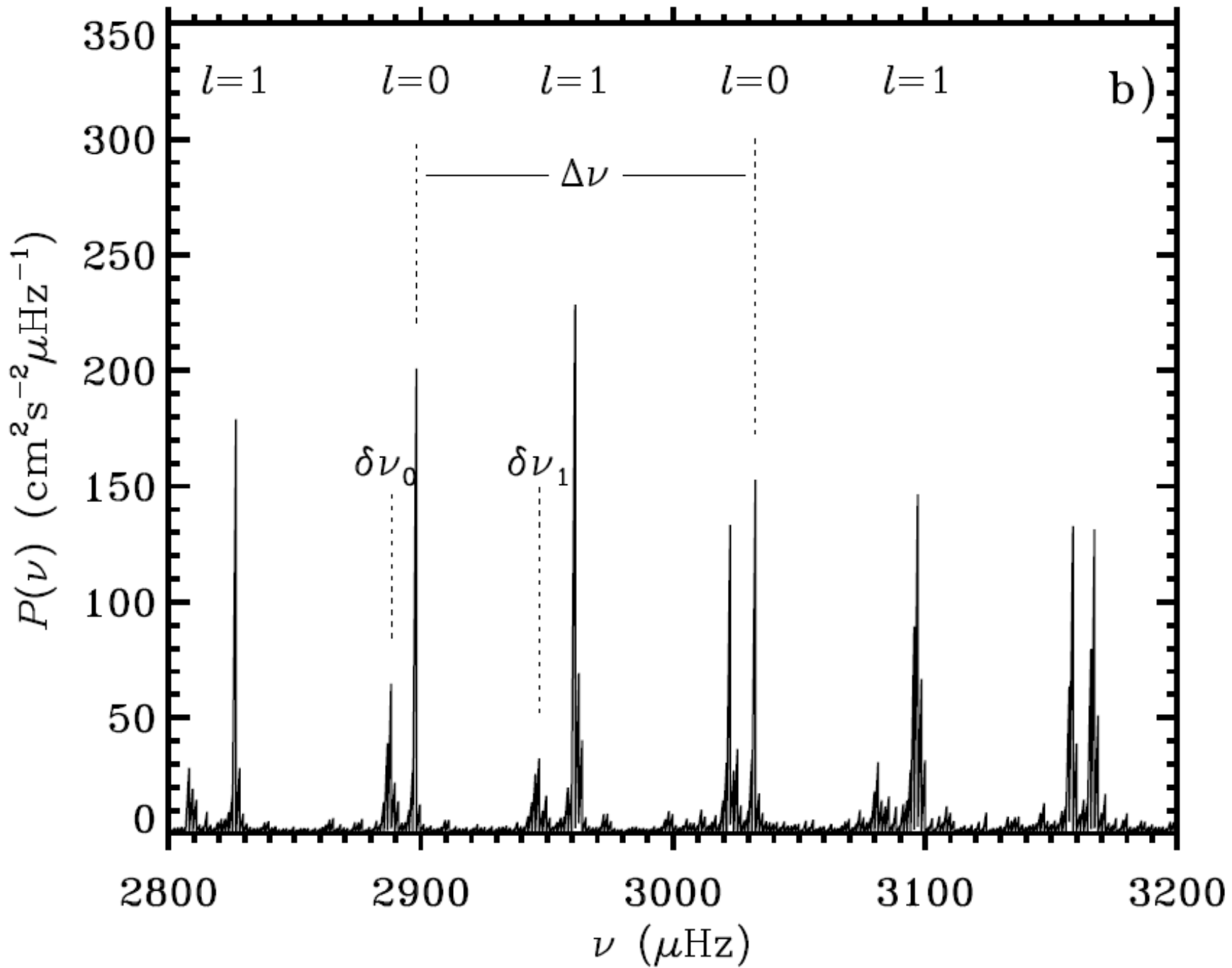


Ja maar alleen vanuit de ruimte









350

 $l=1$  $l=0$  $l=1$  $l=0$  $l=1$ 

b)

Join at menti.com | use code 5474 7411

Mentimeter

We zien een regelmatige opvolging van pieken met een constante frequentieverschuiving van 135 microHz . Wat bepaalt de afstand tussen de pieken?

4

2



De tijd die de golf nodig heeft om de zon te doorlopen

2



De snelheid van de golven in de kern

4



De snelheid van de golven in de convectiezone



2800

2900

3000

3100

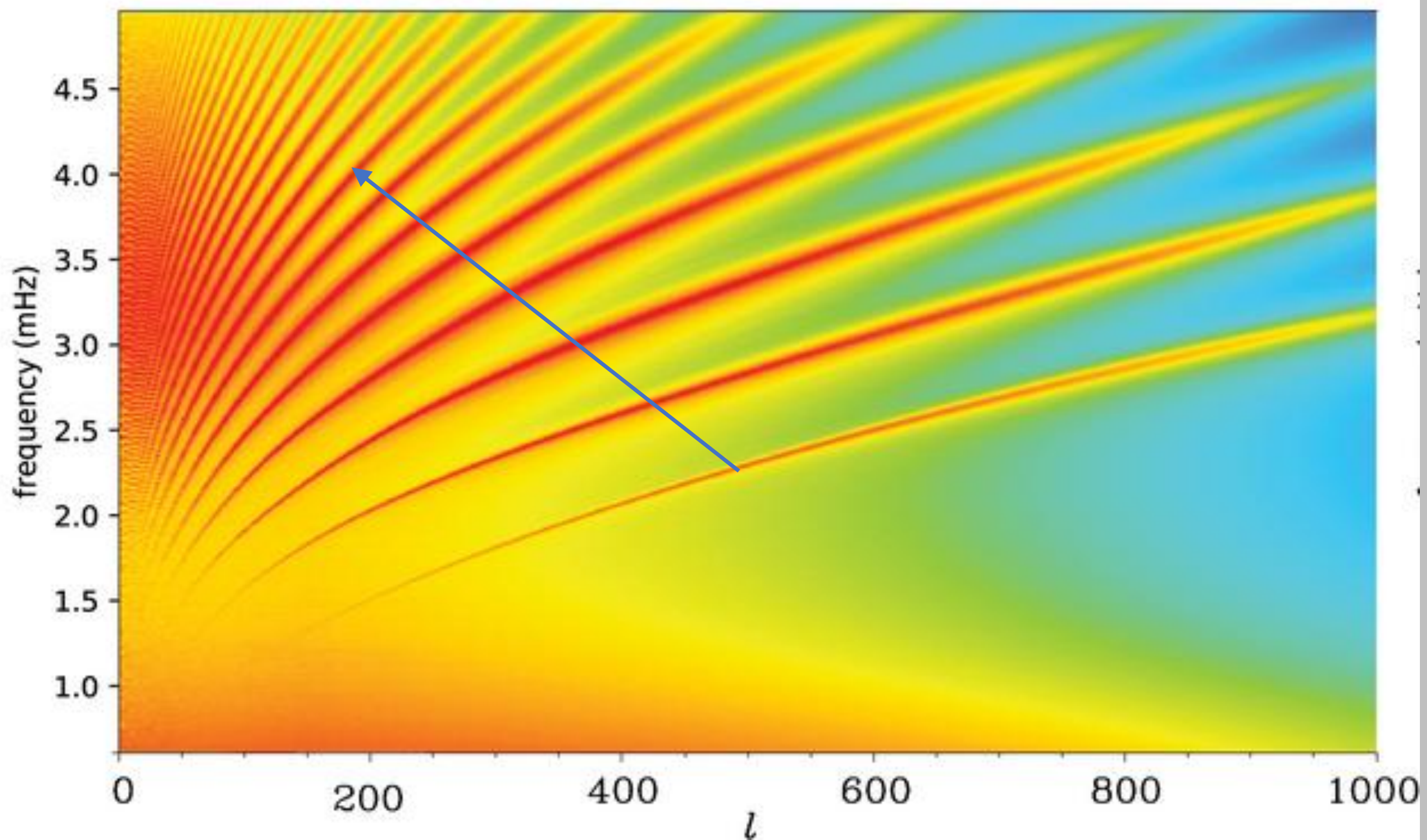
3200

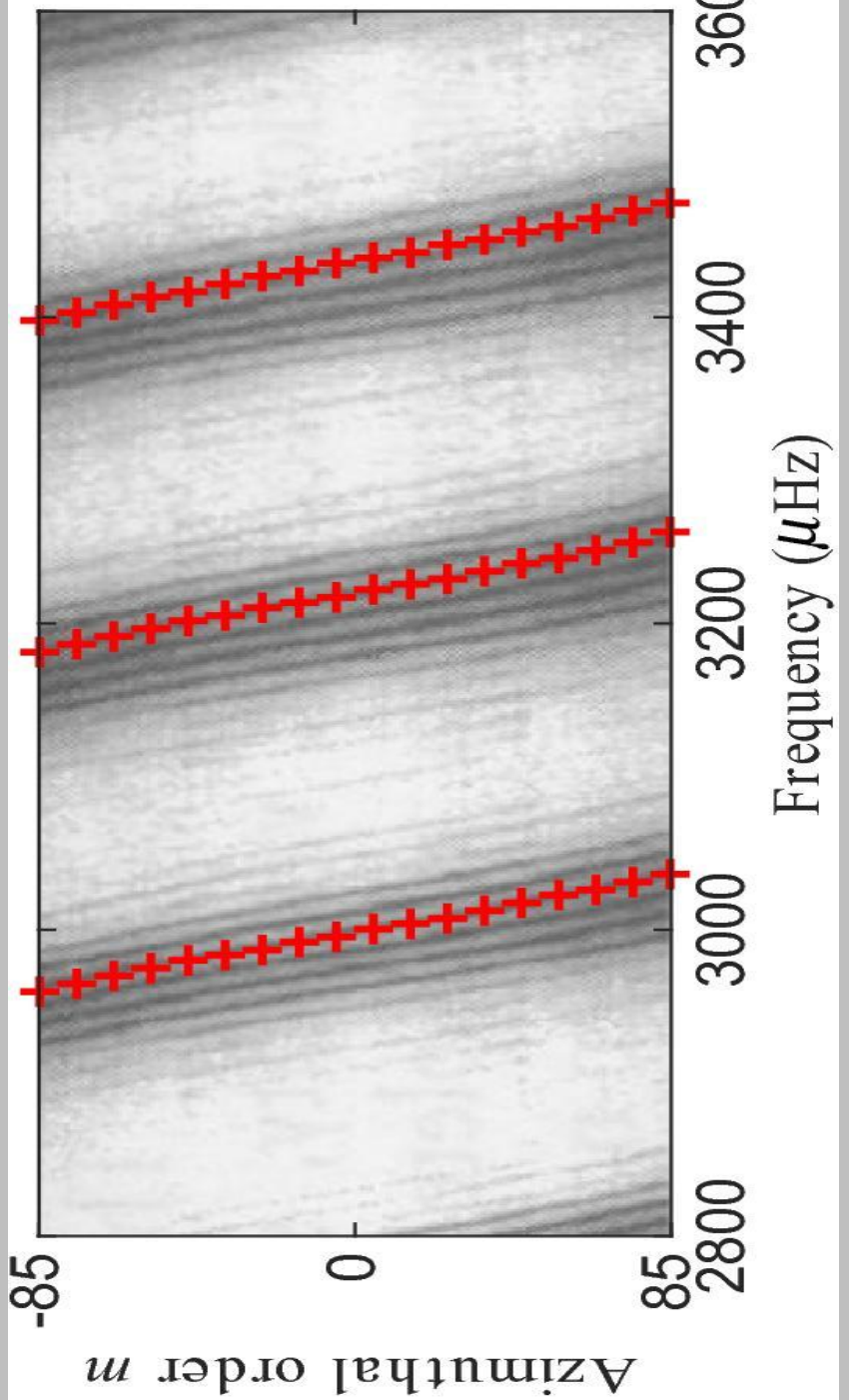
 $\nu$  ( $\mu$ Hz)

$$V_{nl}\simeq \Delta V\Bigg(n+\frac{\ell}{2}+\alpha\Bigg)+\epsilon_{nl},$$

$$\Delta v = \left[2\int_0^R \frac{dr}{c}\right]^{-1}$$

$$\delta\nu_{nlm}=\nu_{nlm}-\langle\nu_{nl}\rangle\simeq m\,\frac{\bar{\Omega}}{2\pi}\,,$$





$$\delta\nu_{nlm} = \nu_{nlm} - \langle \nu_{nl} \rangle \simeq m \frac{\bar{\Omega}}{2\pi},$$

Join at menti.com | use code 5474 7411

Mentimeter

Menti

De zon in de ziel gekken

## Waar hebben de trillingen de hoogste amplitude

8 ✓



Bij het oppervlak van de zon

0 ✗

In de kern van de zon

1 ✗

Diep in de convection zone

Choose a slide to present



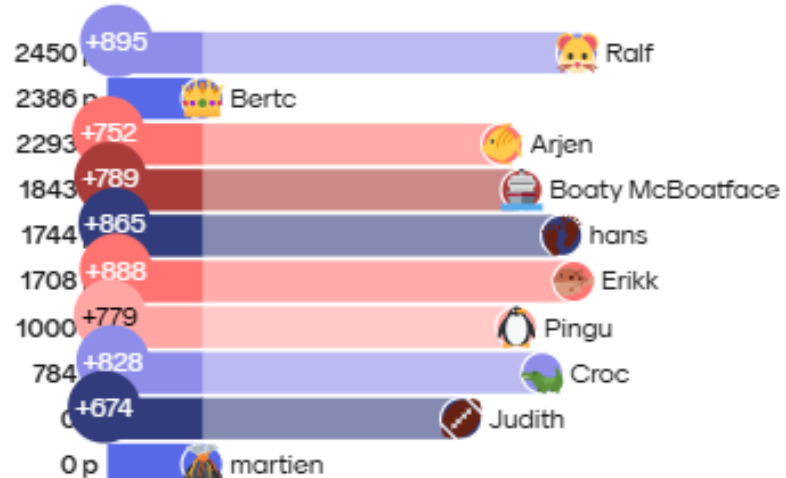
Join at menti.com | use code 5474 7411

Mentimeter

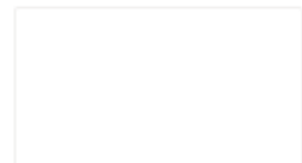
Menti

De zon in de ziel gekken

## Quiz leaderboard



Choose a slide to present

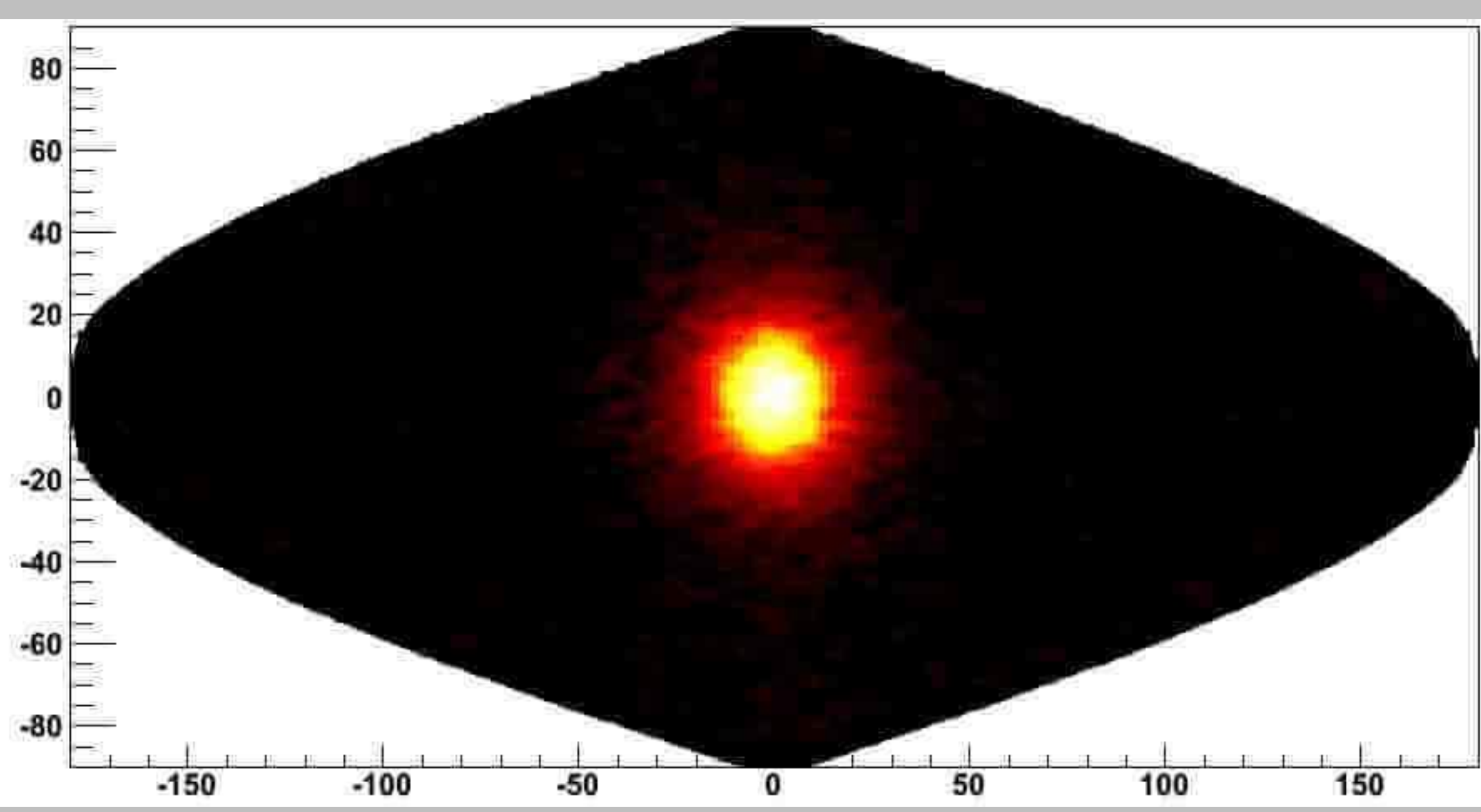


## Resultaten helioseismologie

- Oplossing neutrino probleem
- Rotatiesnelheid inwendige van de zon
- Inzicht in zonnevlekken cyclus
- Activiteit op de achterkant van de zon
- Standaard model zon

# **Resultaten helioseismologie**

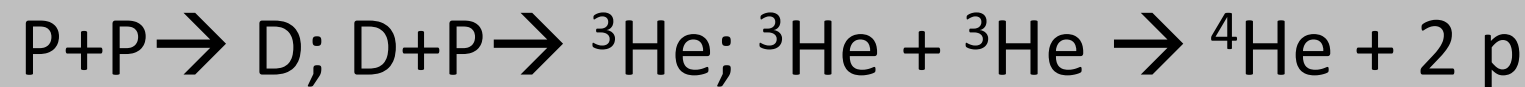
- Oplossing neutrino probleem
- Rotatiesnelheid inwendige van de zon
- Inzicht in zonnevlekken cyclus
- Activiteit op de achterkant van de zon
- Standaard model zon



# Energieopwekking in de zon door kernfusie

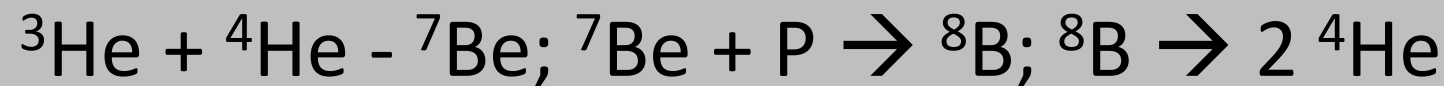
PP I proces

84,6%



PPII proces

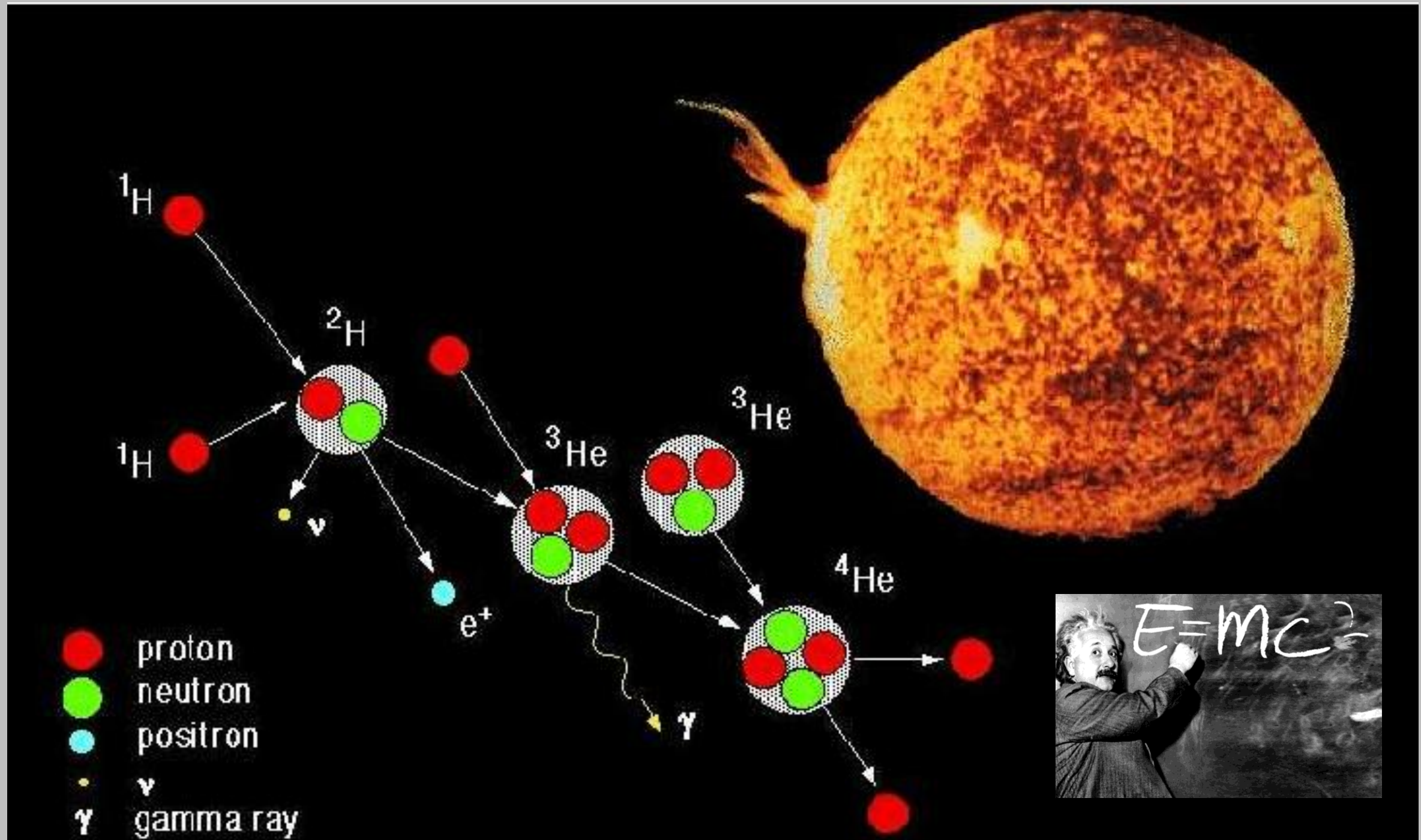
13,8%



CNO Proces

1.6 %





$^1H$

$^1H$

0

Kernreacties waren niet goed  
begepen

1

De zonsactiviteit in de kern is  
variabel. Zitten in tijdelijk minimum

7



1

De temperatuur van de kern is iets  
lager dan gedacht

Join at menti.com | use code 5474 7411

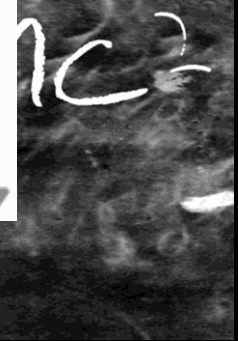
Mentimeter

Menti

De zon in de ziel gekken



Choose a slide to present



pr

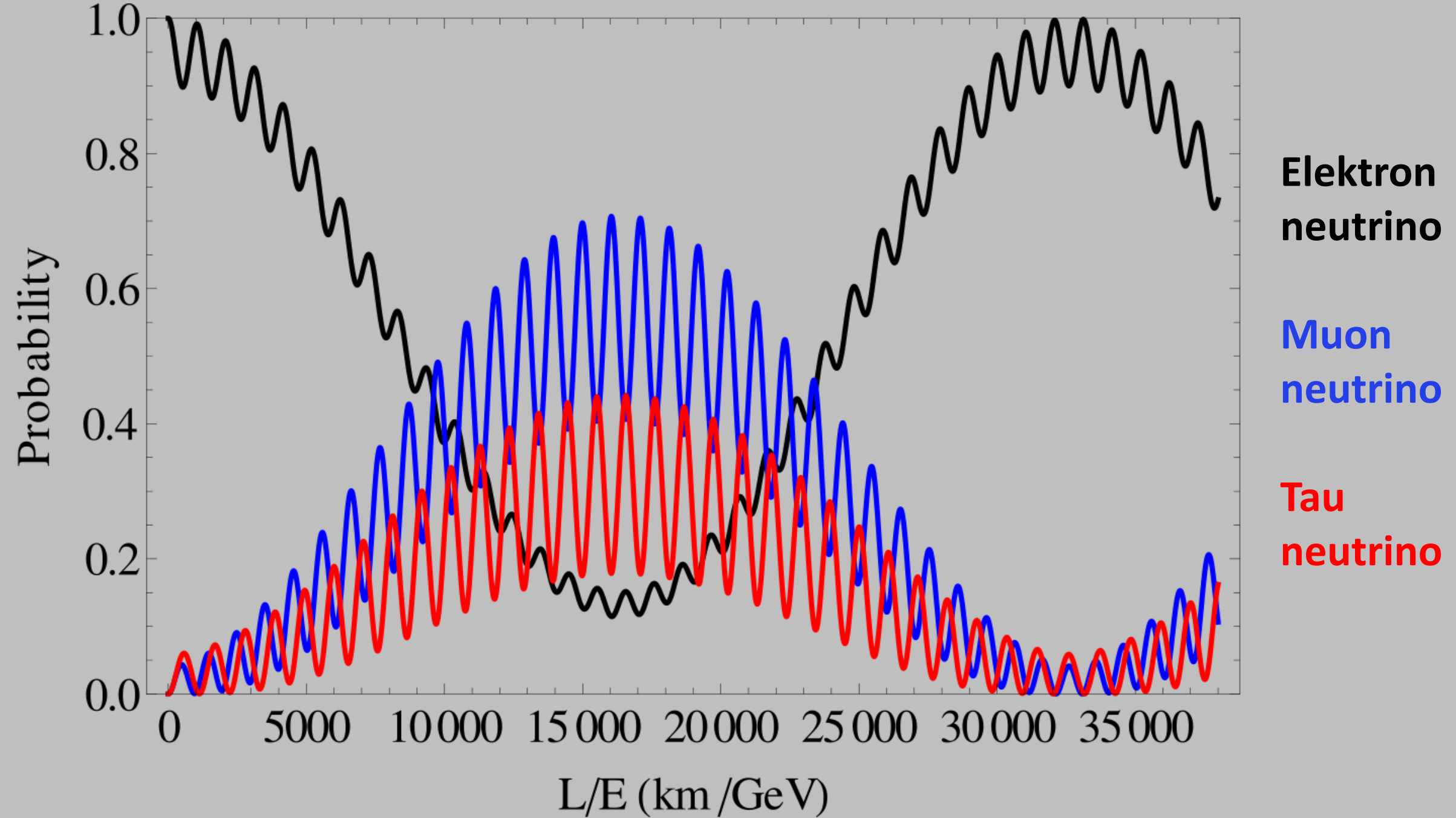
ne

positron

$\gamma$

gamma ray

# Oscillation probabilities for an initial electron neutrino

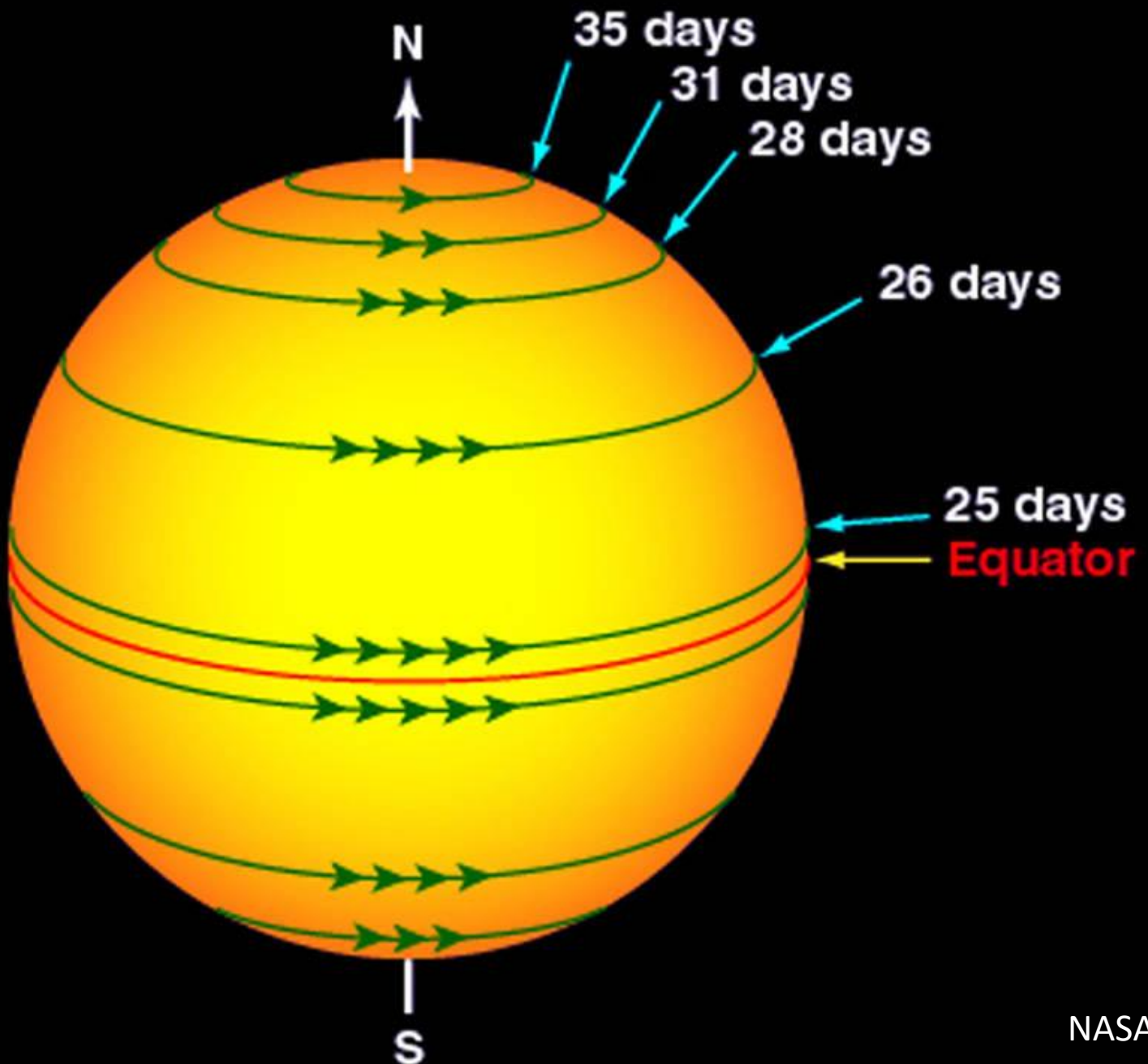


**Table 3.** Neutrino predictions of the SeSM [2, 26] compared to all the neutrino experiments. The Borexino results from [25]. Same references than in Table 2.

	Neutrino Predictions	Predictions including neutrino oscillation
<b>Chlorine detector</b>		$2.56 \pm 0.23$ SNU
<b>Seismic model</b>	$7.67 \pm 1.1$ SNU	$2.76 \pm 0.4$ SNU
<b>Gallium detectors</b>	<b>GALLEX+GNO+SAGE</b>	$66.1 \pm 3.$ SNU
<b>Seismic model</b>	$123.4 \pm 8.2$ SNU	$67.1 \pm 4.4$ SNU
<b>Borexino <math>^7\text{Be}</math></b>		$3.36 \pm 0.36 \text{ } 10^9\text{cm}^{-2}\text{s}^{-1}$
<b>Seismic model</b>	$4.72 \text{ } 10^9\text{cm}^{-2}\text{s}^{-1}$	$3.05 \pm 0.35 \text{ } 10^9\text{cm}^{-2}\text{s}^{-1}$
<b>Water detectors</b>	<b>SNO</b>	<b>SNO + SK in <math>10^6\text{cm}^{-2}\text{s}^{-1}</math></b>
	$5.09 \pm 0.44 \text{ (stat)} \pm 0.45 \text{ (syst)}$	$5.27 \pm 0.27 \text{ (stat)} \pm 0.38 \text{ (syst)}$
<b>Seismic model</b>	$5.31 \pm 0.6$	$5.31 \pm 0.6$

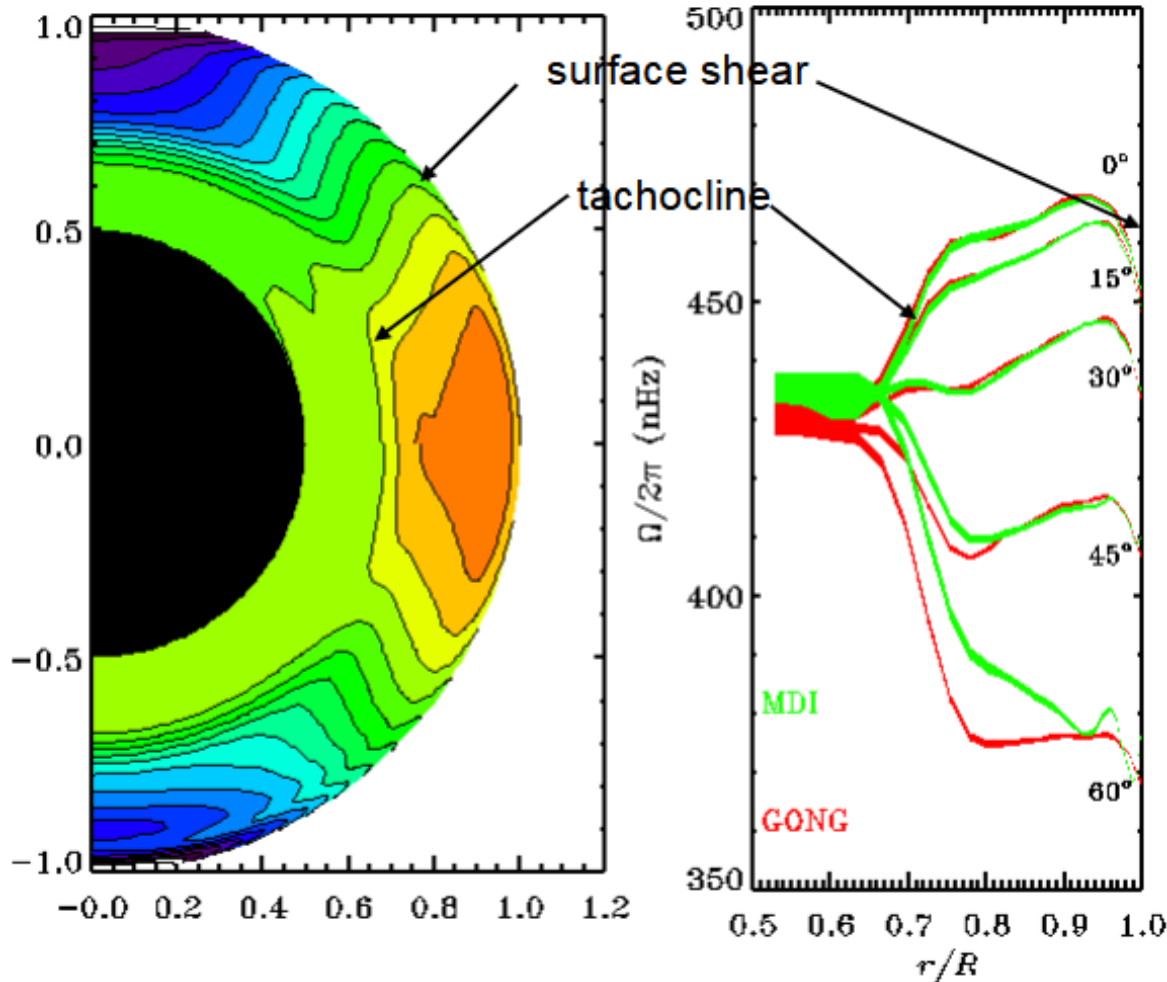
# Resultaten helioseismologie

- Oplossing neutrino probleem
- **Rotatiesnelheid inwendige van de zon**
- Inzicht in zonnevlekken cyclus
- Activiteit op de achterkant van de zon
- Standaard model zon



NASA

## Global rotation profile



Comparison between results from GONG and MDI data  
(Howe, 2002)

- Differential rotation penetrates the interior. Rotation being constant on cylinders is not confirmed.
- **Tachocline:** a narrow region in the stably stratified layer just beneath the base of the convective envelope, where transition between differential and solid-body rotation takes place.
- The radiative core rotates slower than expected (surface-like), possibly owing to magnetic breaking in the outer envelope and its coupling with the radiative core.

Join at menti.com | use code 5474 7411

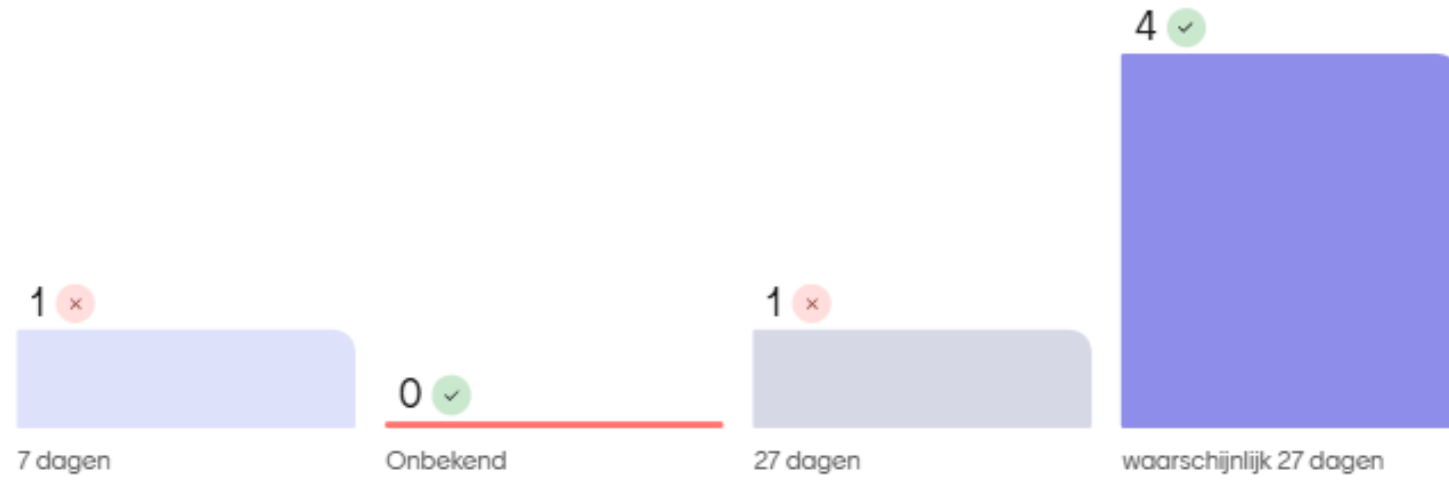
Mentimeter

Menti

De zon in de ziel gekken



## Wat is de synodische rotatie periode van de kern van de zon?



Comparison between results from UCL and Menti data  
(Howe, 2002)

core.

Choose a slide to present



► Medium degree modes (up to  $l \sim 200$ )

Cycle 23: 12.6 years

[Korzennick & Eff-Darwich 2012]

Near-surface shear

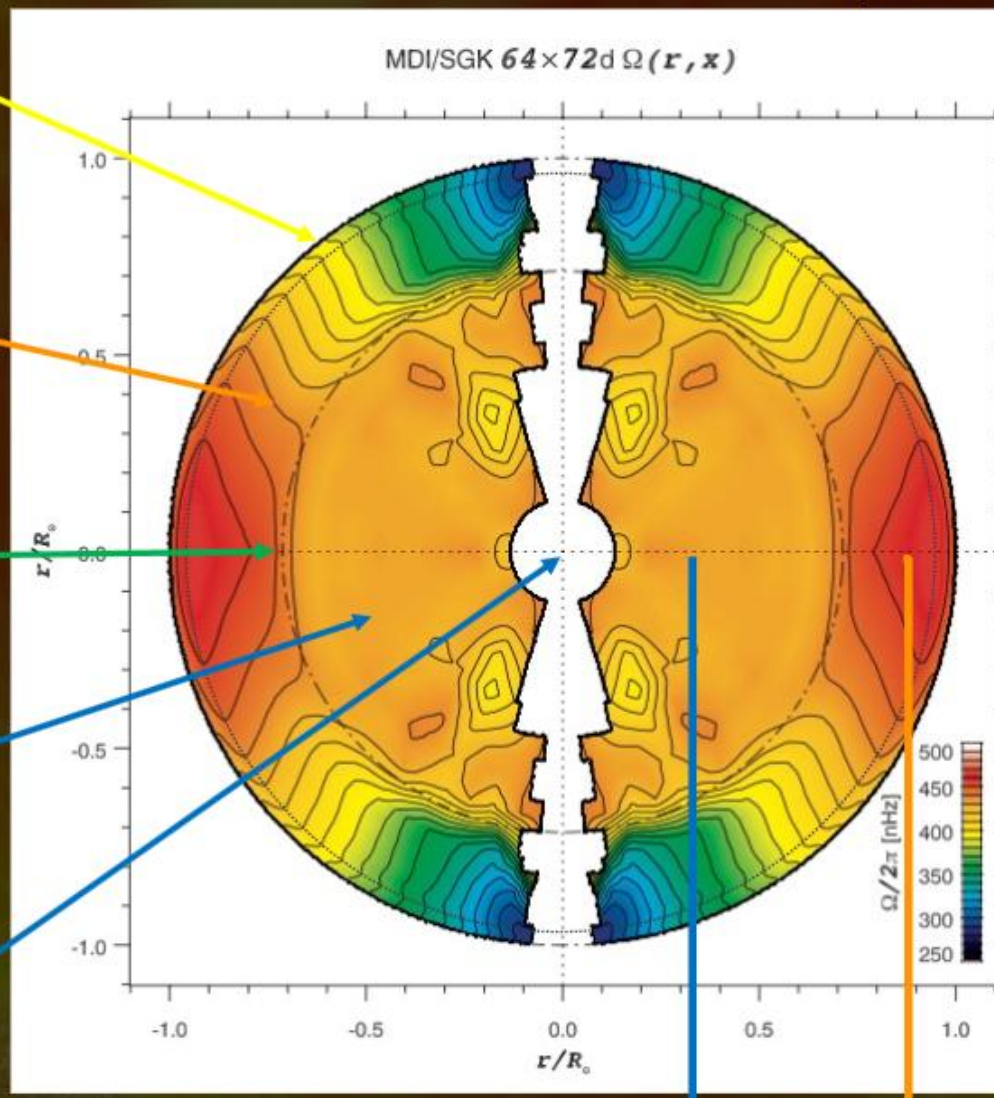
CZ

Tachocline

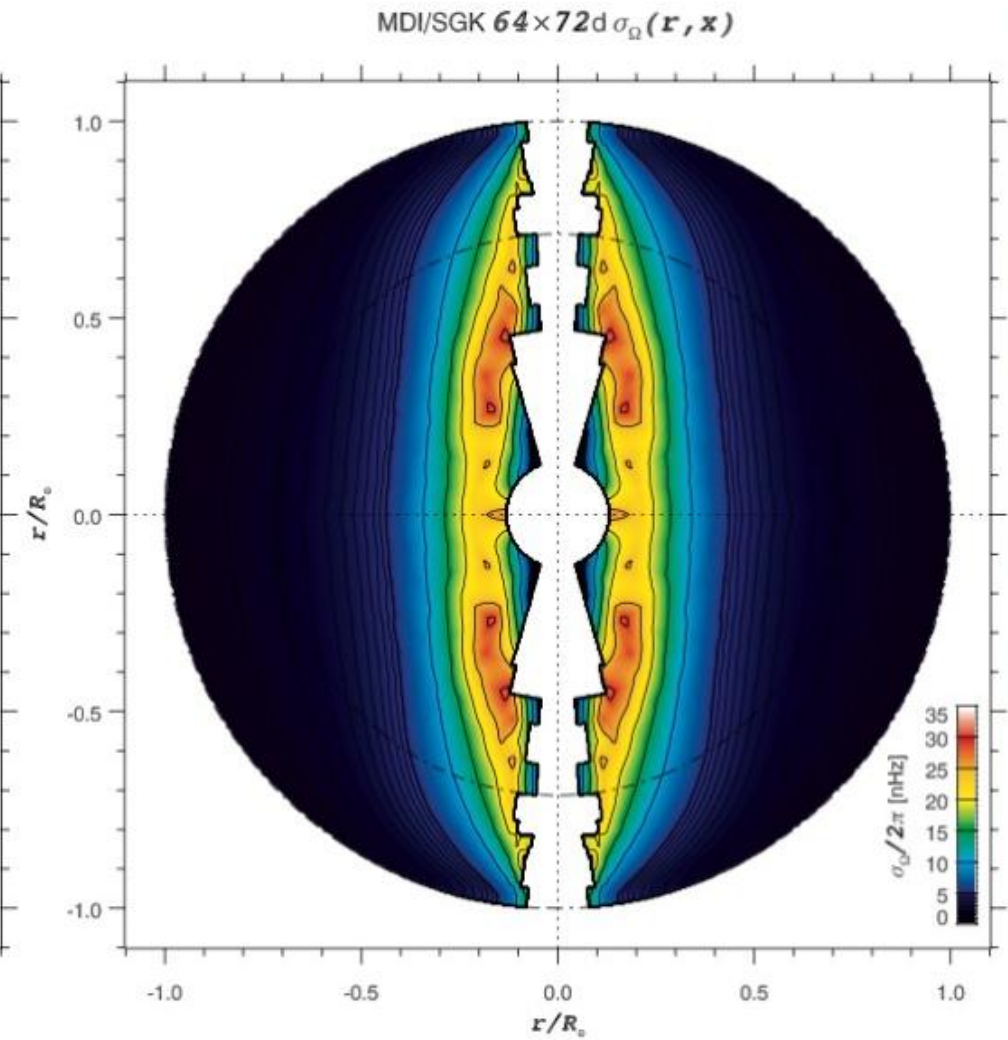
RZ

Core

MDI/SGK  $64 \times 72d \Omega(r, x)$



MDI/SGK  $64 \times 72d \sigma_\Omega(r, x)$



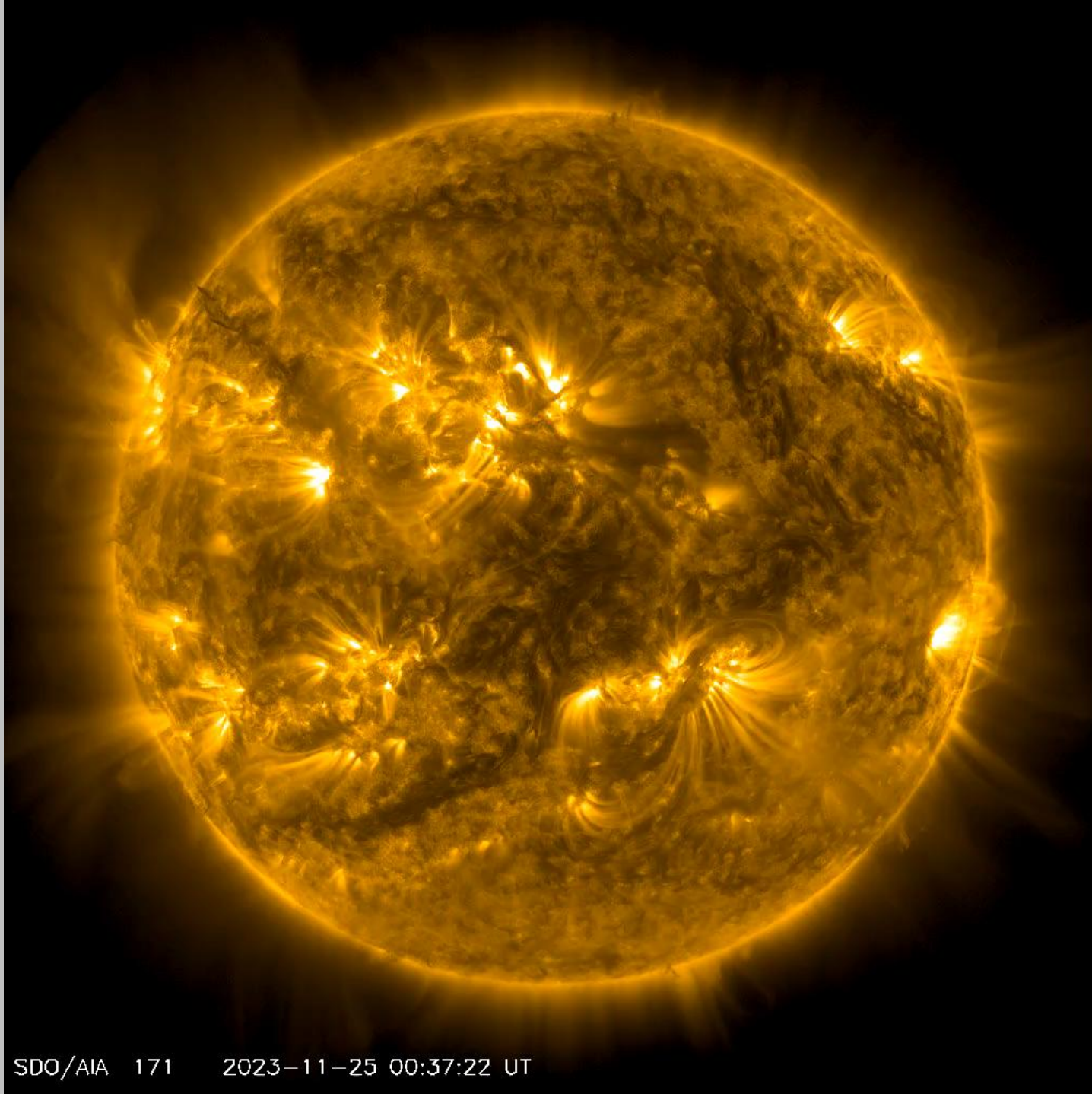
CZ: Differential rotation

	Equator		15°		30°		45°		60°	
	MDI	GONG								
<b>Jump</b>	19.38	18.82	15.07	14.41	-1.93	-1.06	-29.39	-30.32	-64.64	-68.92
<b>Posi-tion</b>	0.689	0.692	0.693	0.694	0.703	0.697	0.717	0.702	0.731	0.707
<b>Width</b>	0.0022 (0.006)	0.0024 (0.006)	0.0046 (0.011)	0.0040 (0.010)	0.0111 (0.028)	0.0084 (0.021)	0.0201 (0.072)	0.0144 (0.051)	0.0289 (0.089)	0.0204 (0.062)

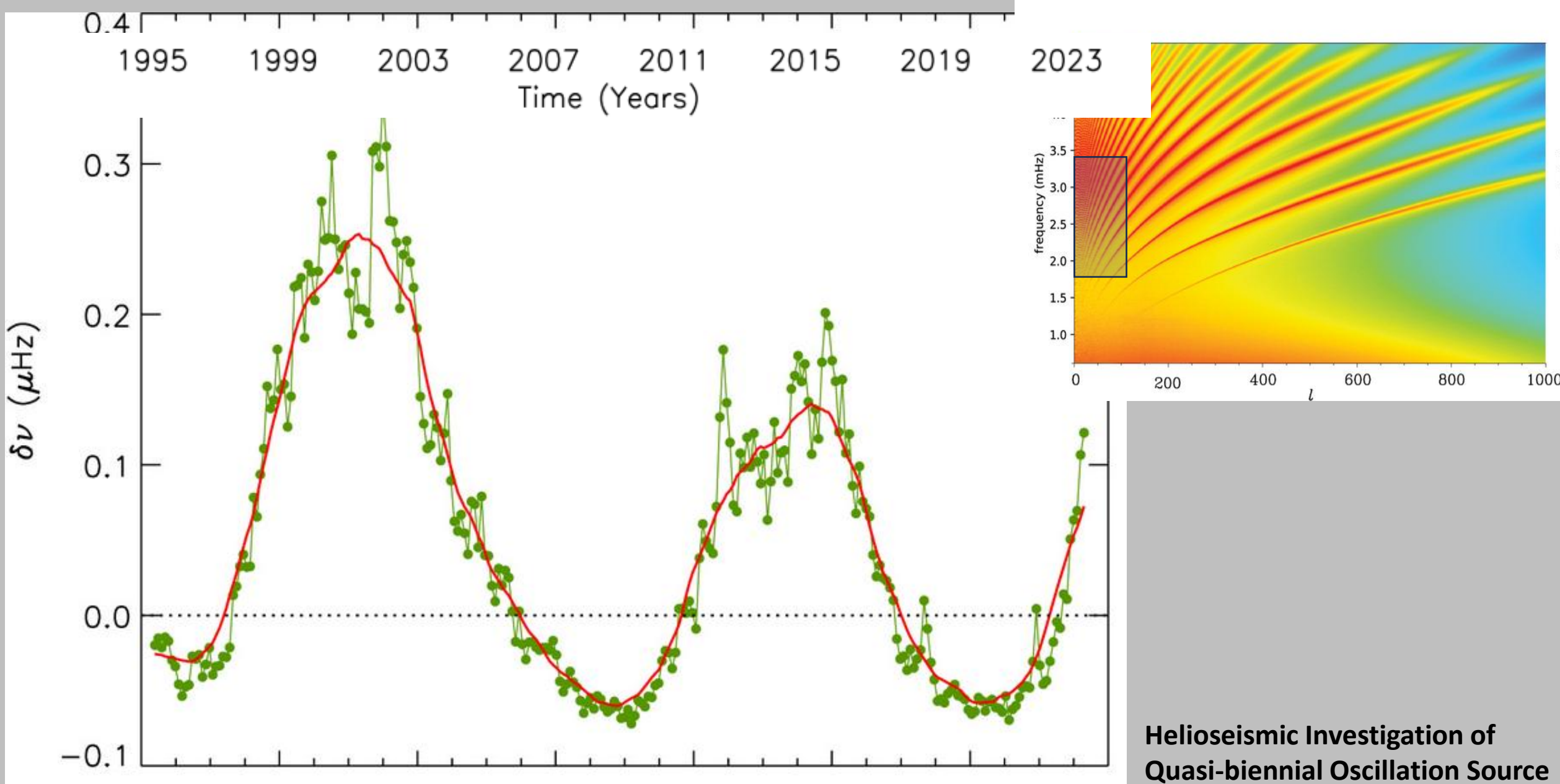
- The tachocline is prolate.
- The thickness of the tachocline is higher at higher latitudes.

# Resultaten helioseismologie

- Oplossing neutrino probleem
- Rotatiesnelheid inwendige van de zon
- **Inzicht in zonnevlekken cyclus**
- Activiteit op de achterkant van de zon
- Standaard model zon

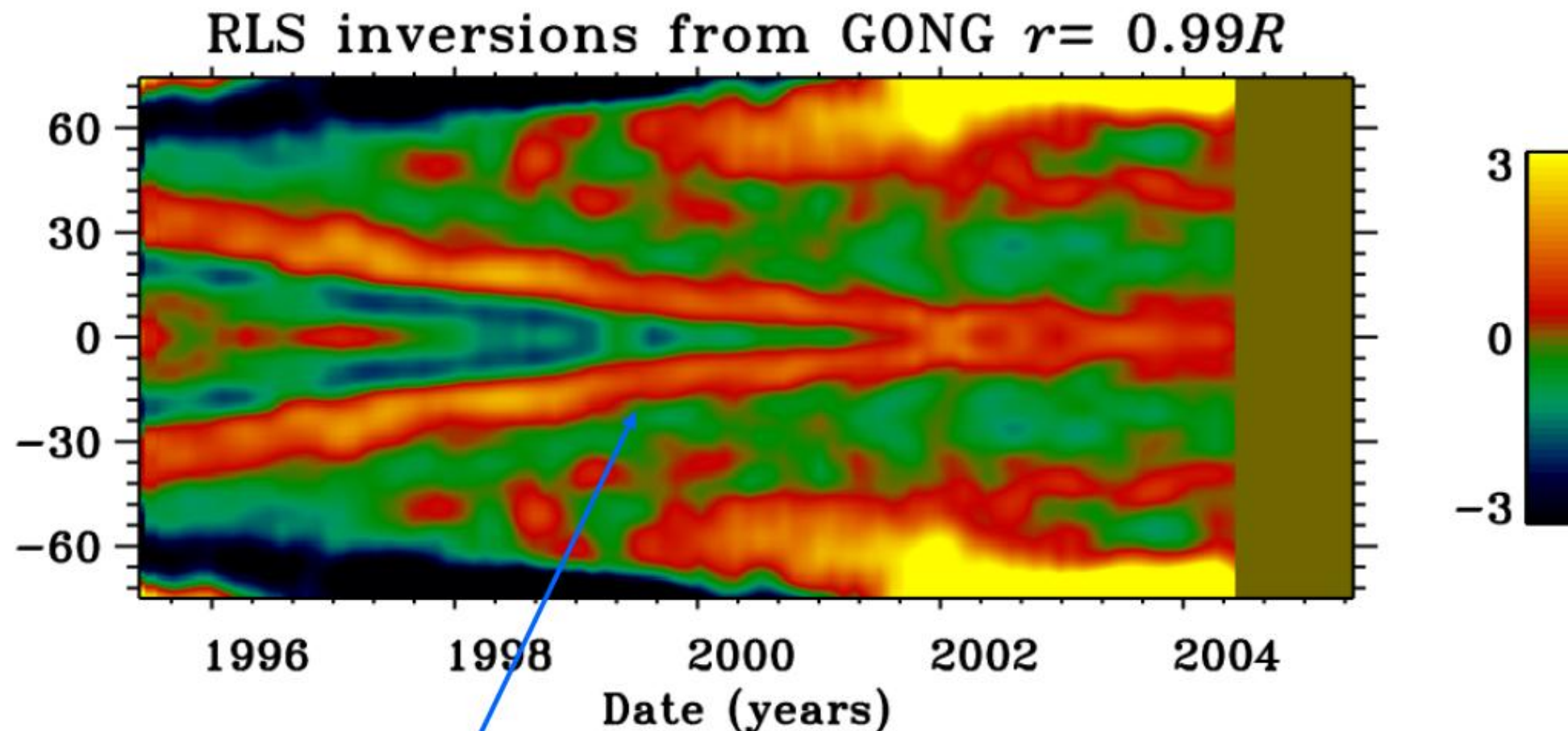


SDO/AIA 171 2023-11-25 00:37:22 UT



**Helioseismic Investigation of  
Quasi-biennial Oscillation Source  
Regions**  
Kiran Jain, Partha Chowdhury,  
and Sushanta C. Tripathy

**Changes of the differential rotation with the solar cycle - “torsional oscillations”**  
(rotation speed relative to mean speed)



Magnetic active regions appear at boundaries between fast and slow zones

# Changes of the differential rotation with the solar cycle - “torsional oscillations”

(rotation speed relative to mean speed)

6

Join at menti.com | use code 5474 7411

Mentimeter

3

Welk mechanisme zorgt ervoor dat de rotatiesnelheid varieert met de cyclus?

-3  
-6



In de atmosfeer van de zon lopen straalstromen zoals bij de reuzenplaneten



Magnetische velden vertragen de materie



Magnetsche velden geven lokaal het gas een extra snelheid mee



Menti

De zon in de ziel gekken

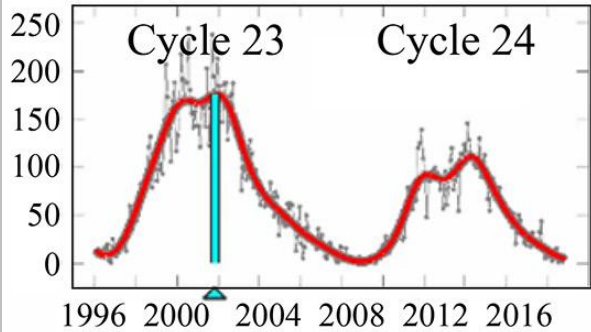


Choose a slide to present

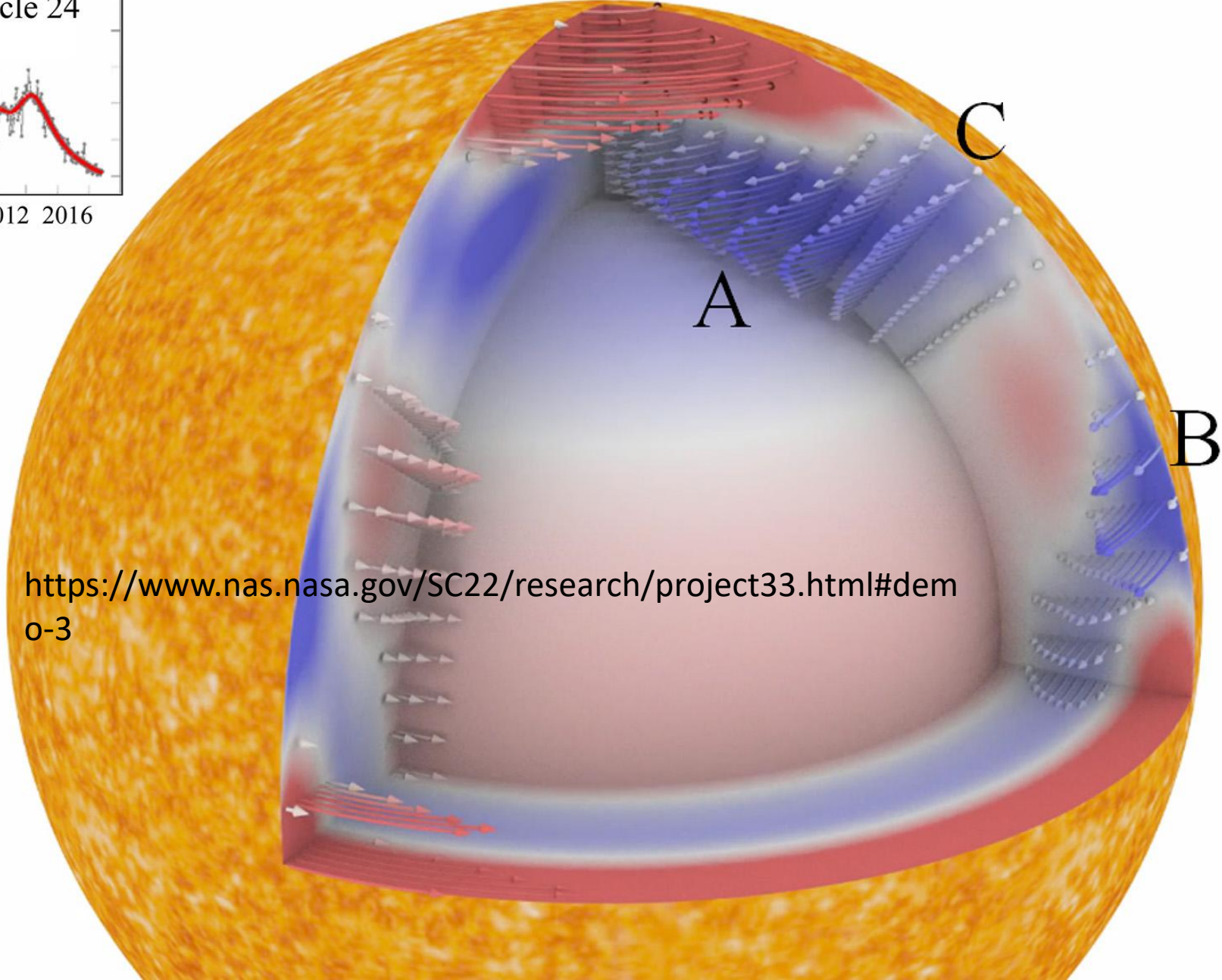
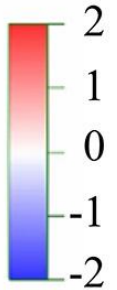


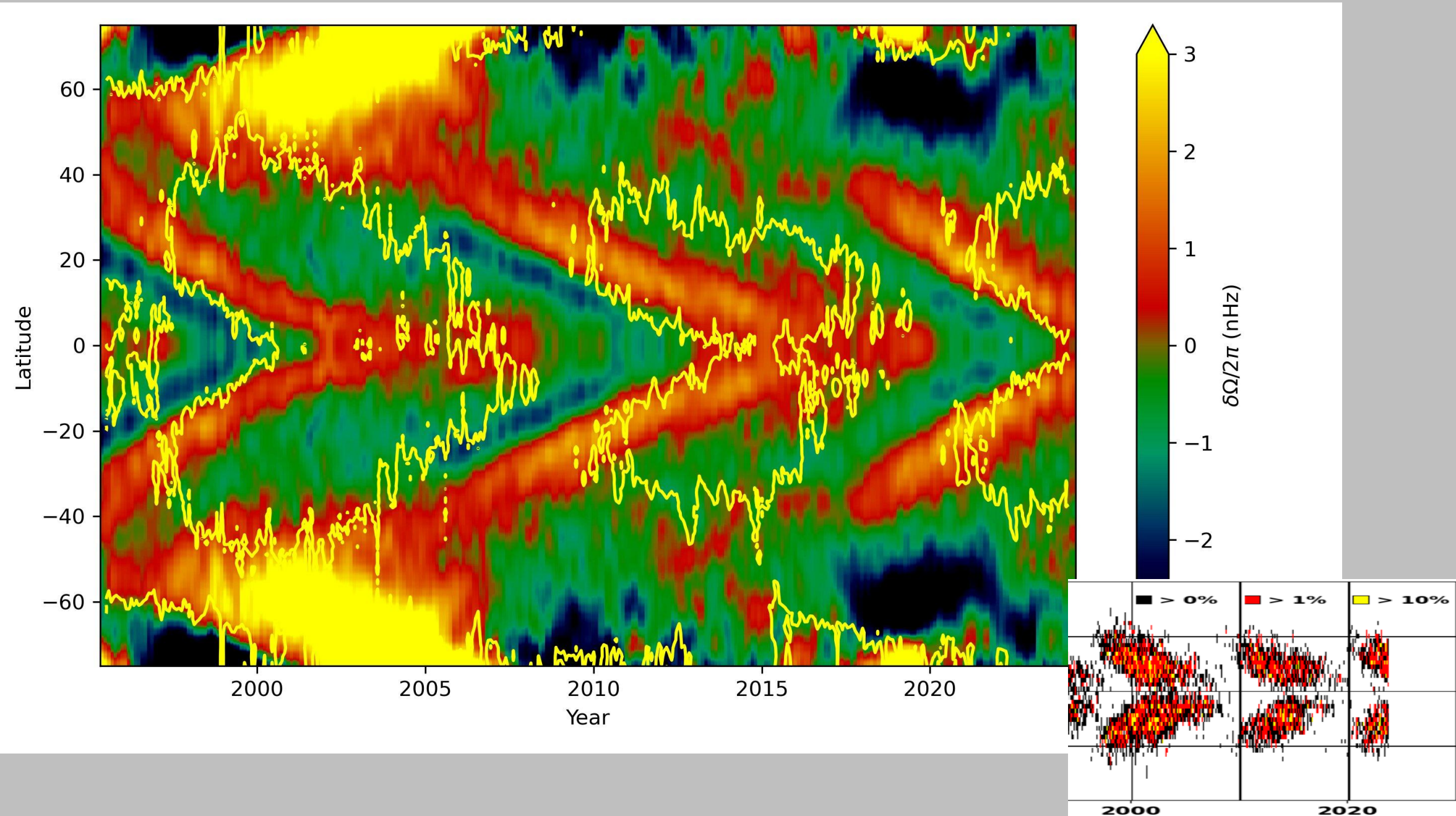
Mag

## Sunspots

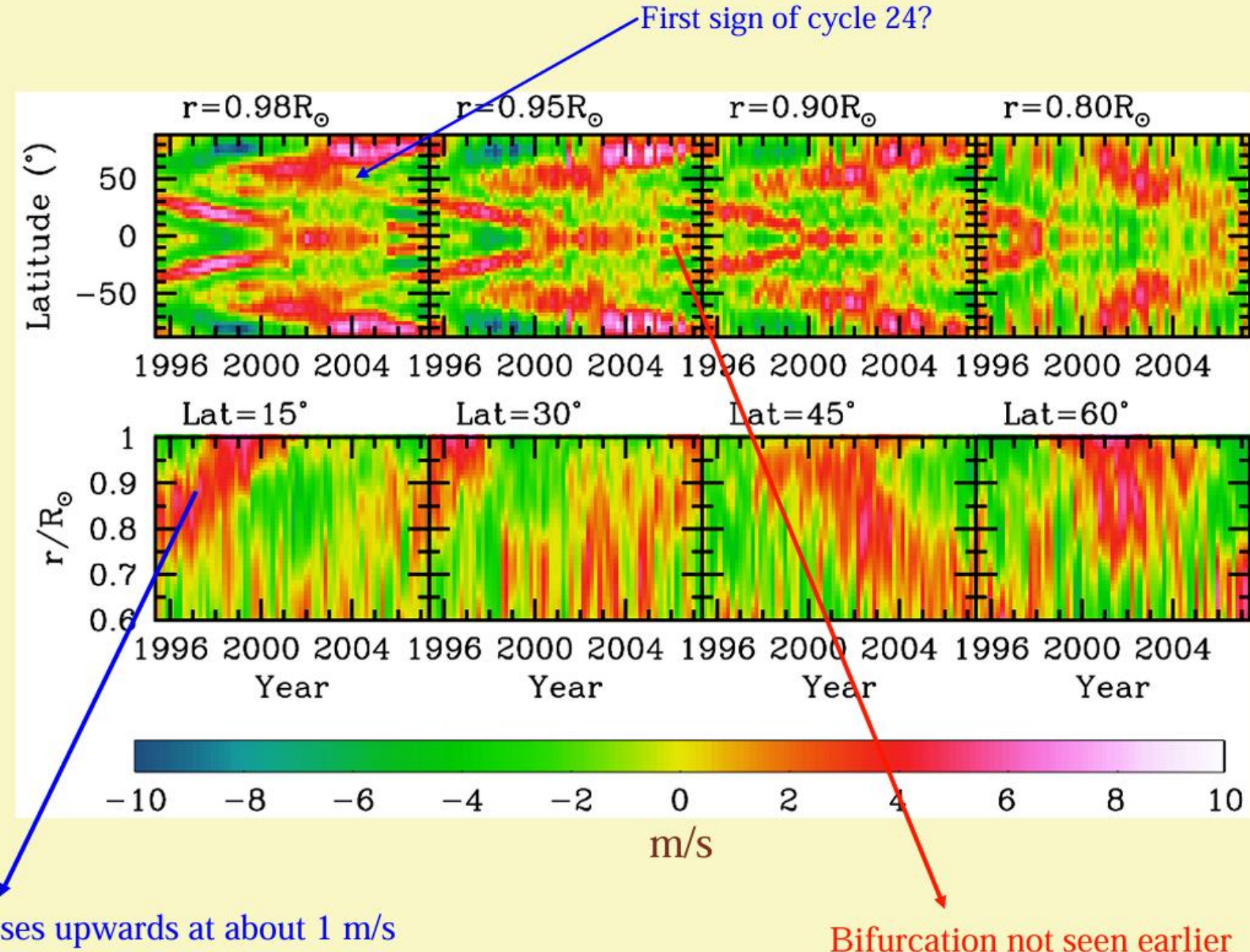


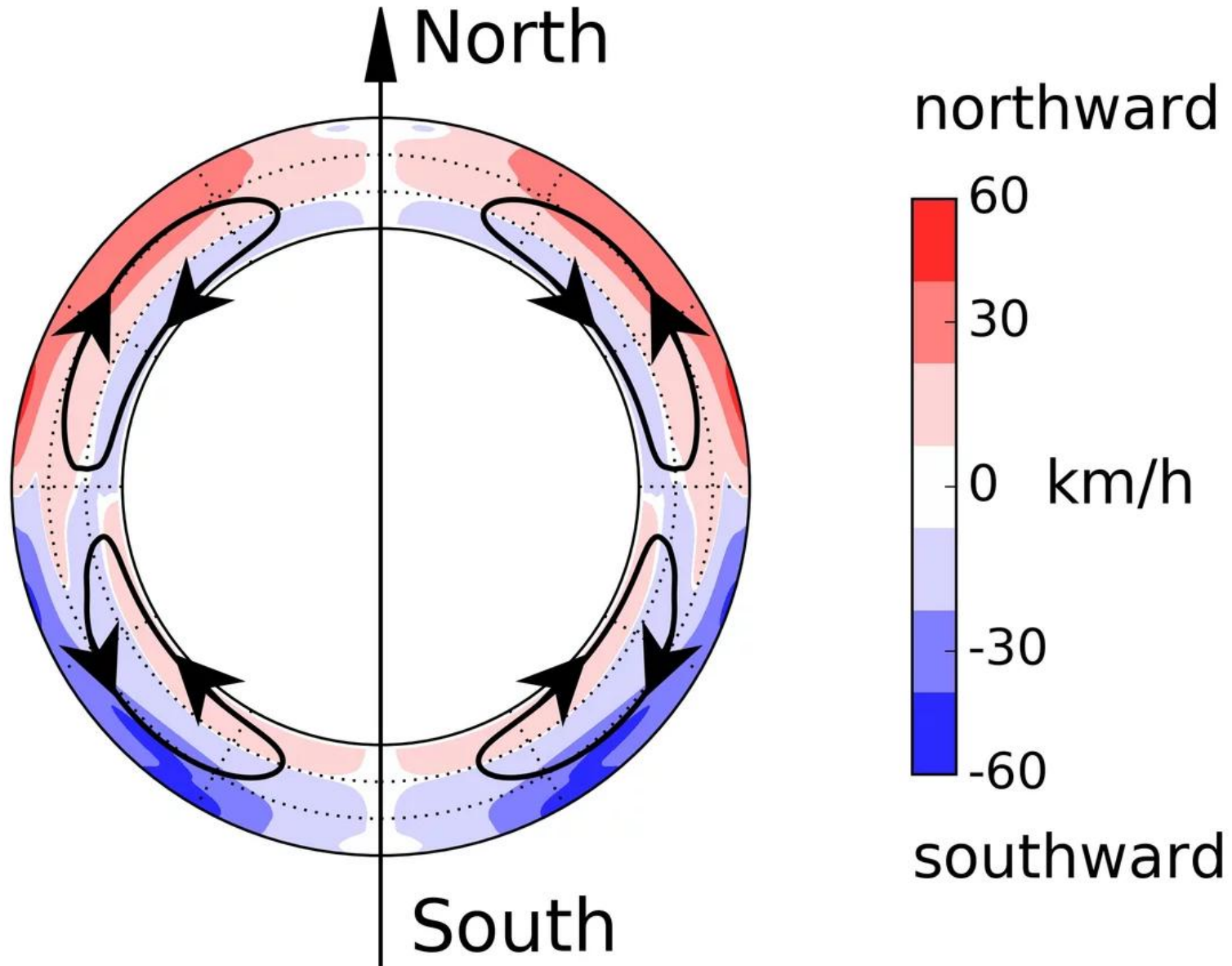
Zonal acceleration,  $\text{m/s}^2$

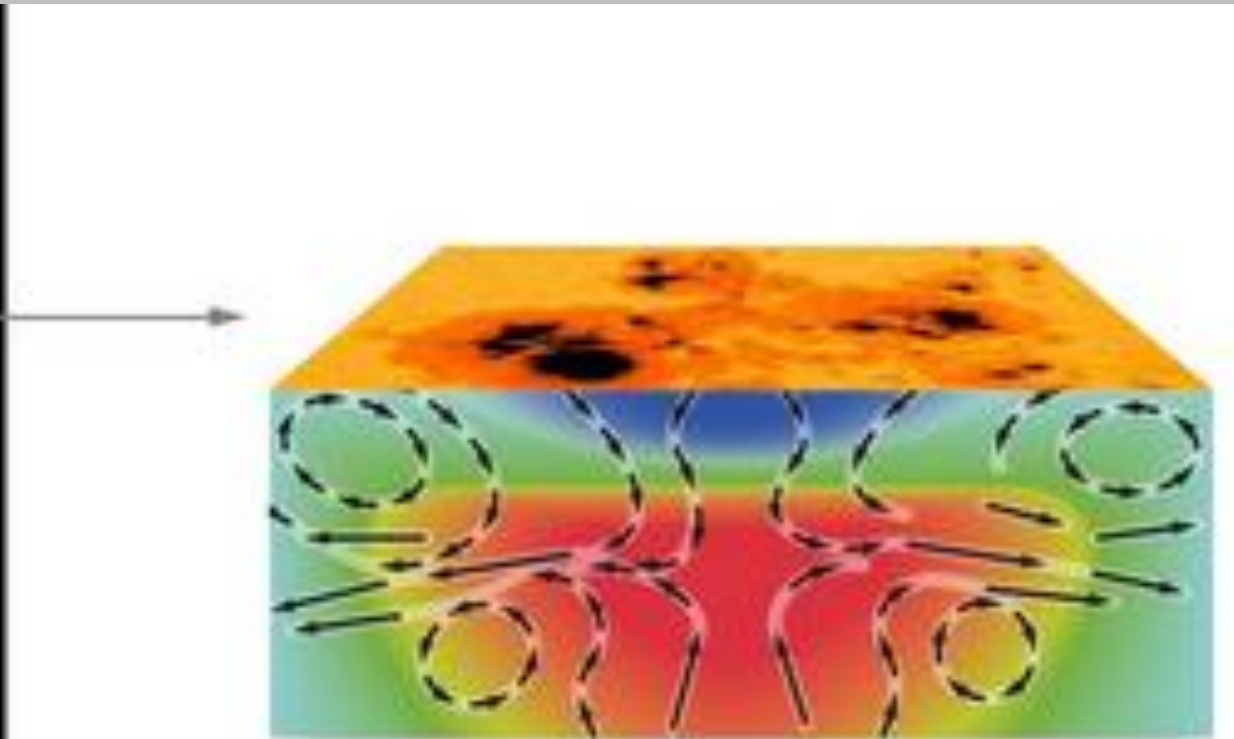
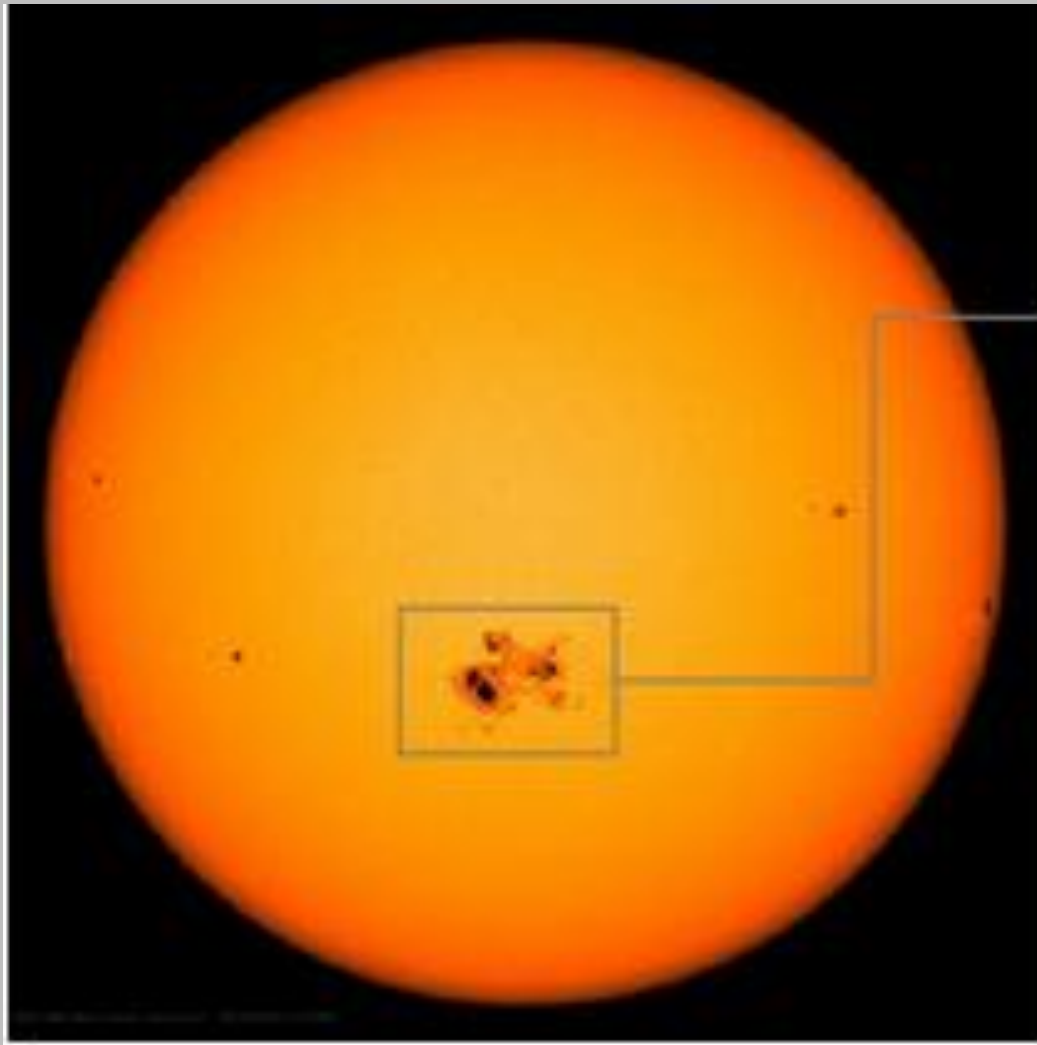




# SOLAR ZONAL FLOWS



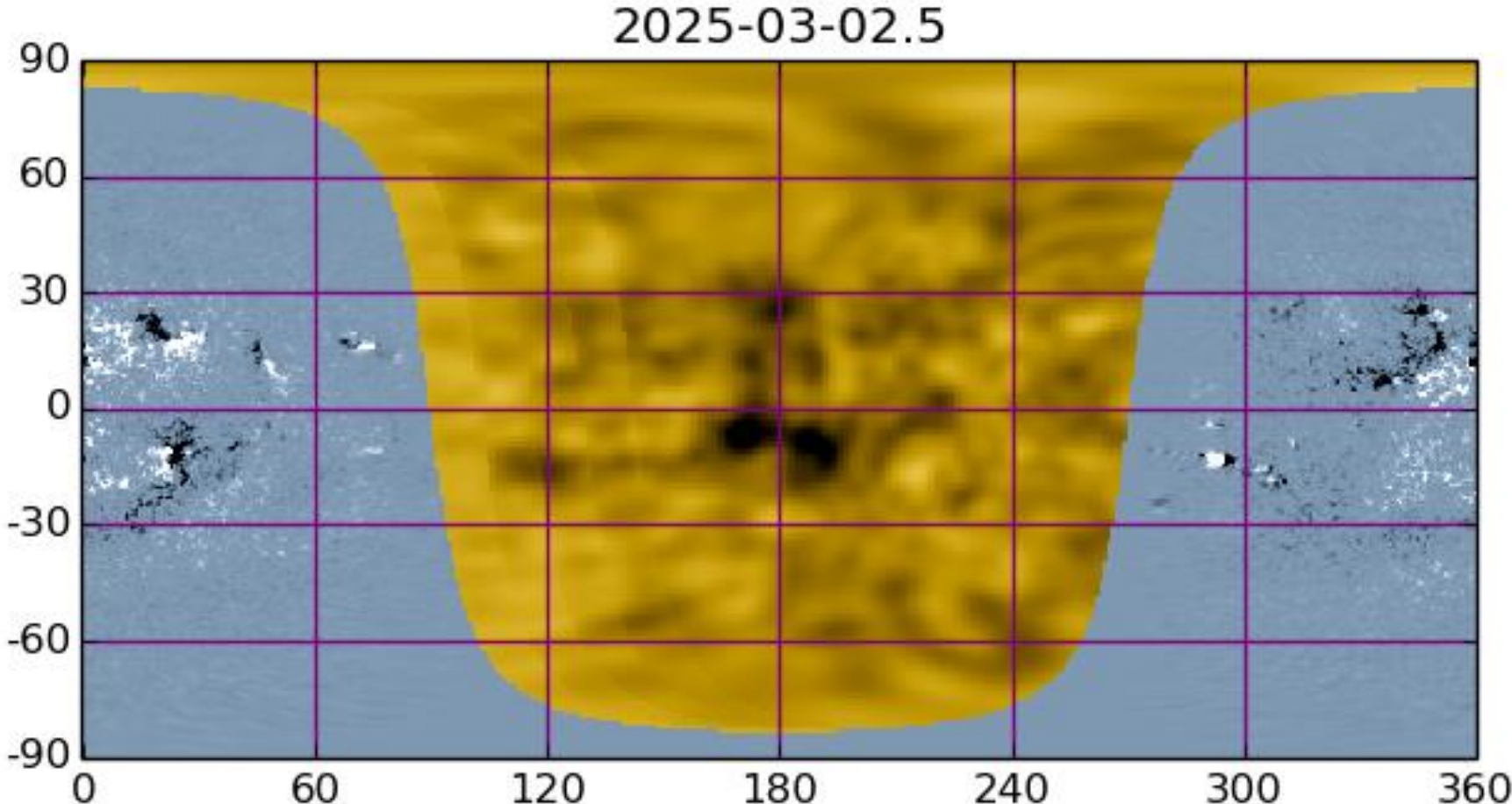
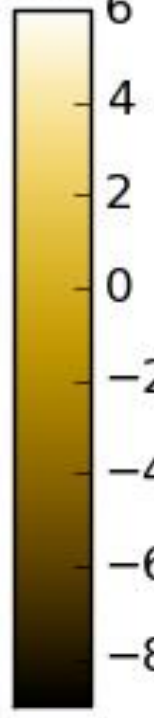




# Resultaten helioseismologie

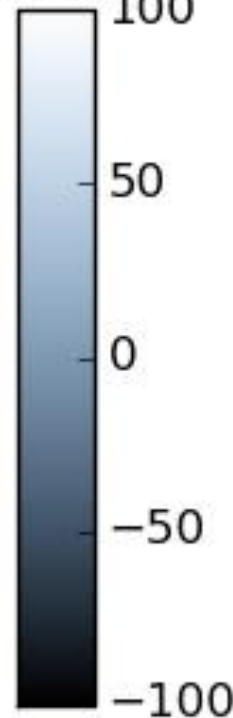
- Oplossing neutrino probleem
- Rotatiesnelheid inwendige van de zon
- Inzicht in zonnevlekken cyclus
- **Activiteit op de achterkant van de zon**
- Standaard model zon

$\tau$ (sec)



2025-03-02.5

$B$ (Gauss)



π(se



Join at menti.com | use code 5474 7411

Mentimeter

Hoe zou je informatie over de niet zichtbare kant van de zon kunnen verkrijgen?

3 ✕

Satelliet in de ruimte aan de andere kant van de zon

3 ✕

Golven die van de achterkant van de zon komen geven een focus op de voorkant diametraal er tegenover op de voorzijde

0 ✓

Het oppervlak van de zon wordt als spiegel gebruikt

2 ✓

Shellosismische holografie



Menti

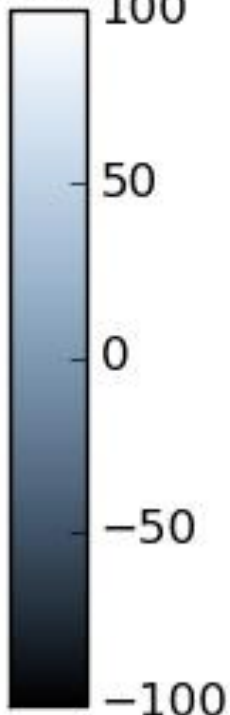
De zon in de ziel gekken

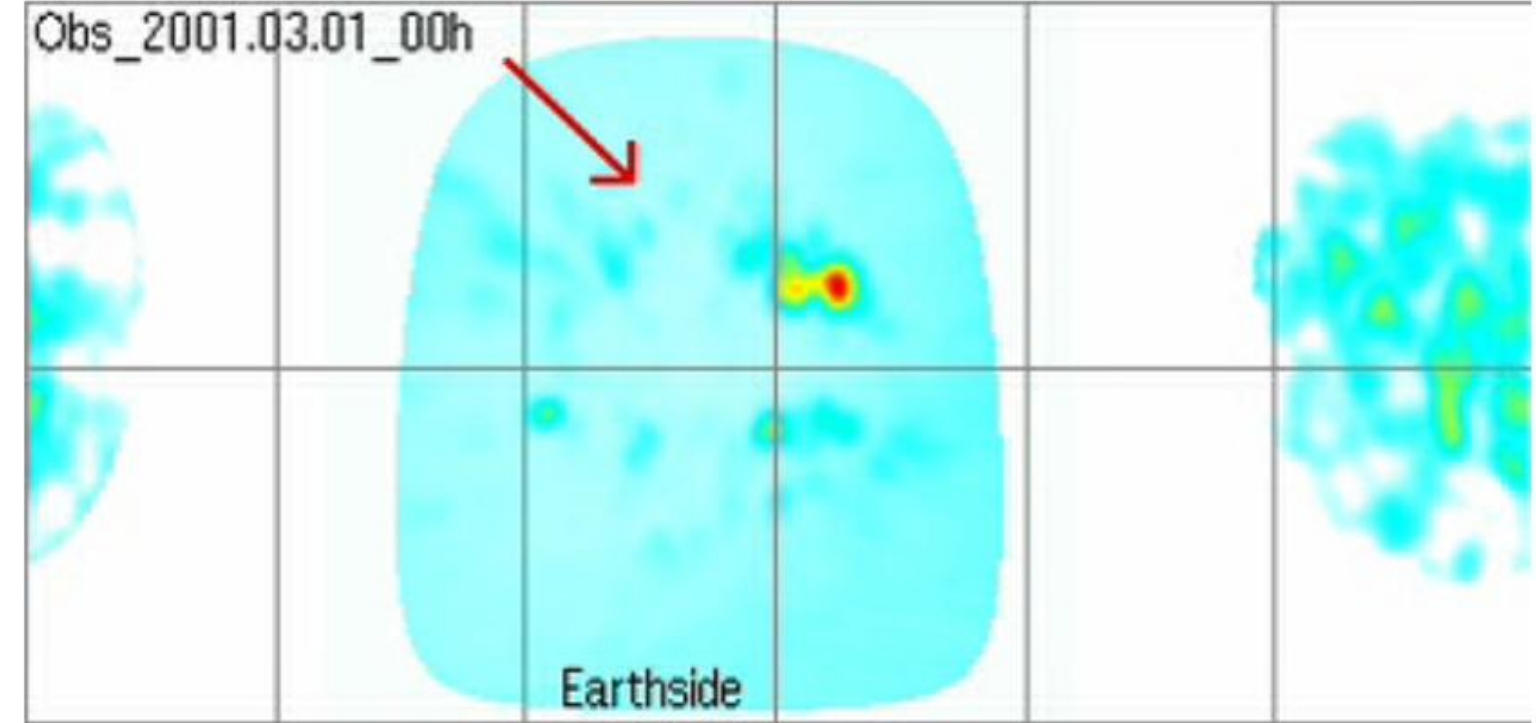
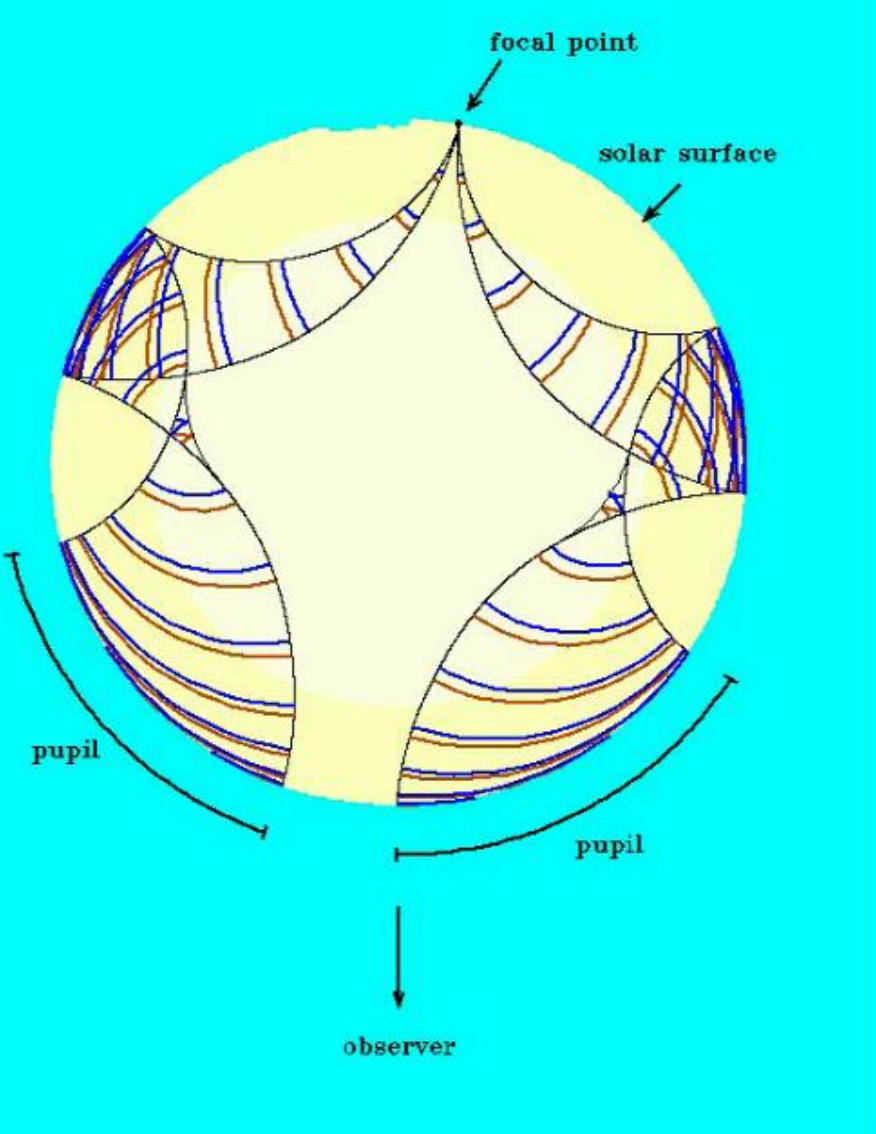


Choose a slide to present



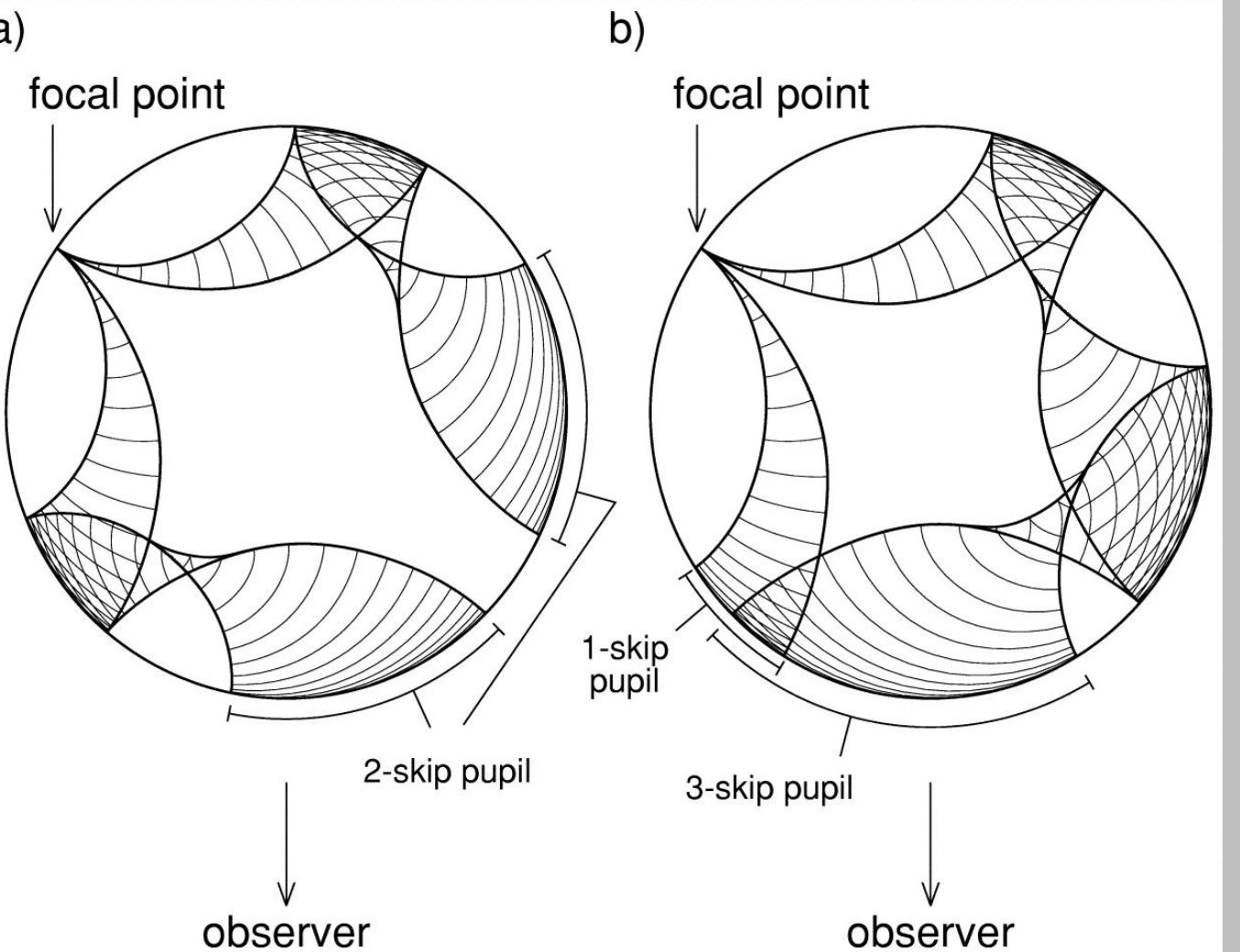
(Gauss)





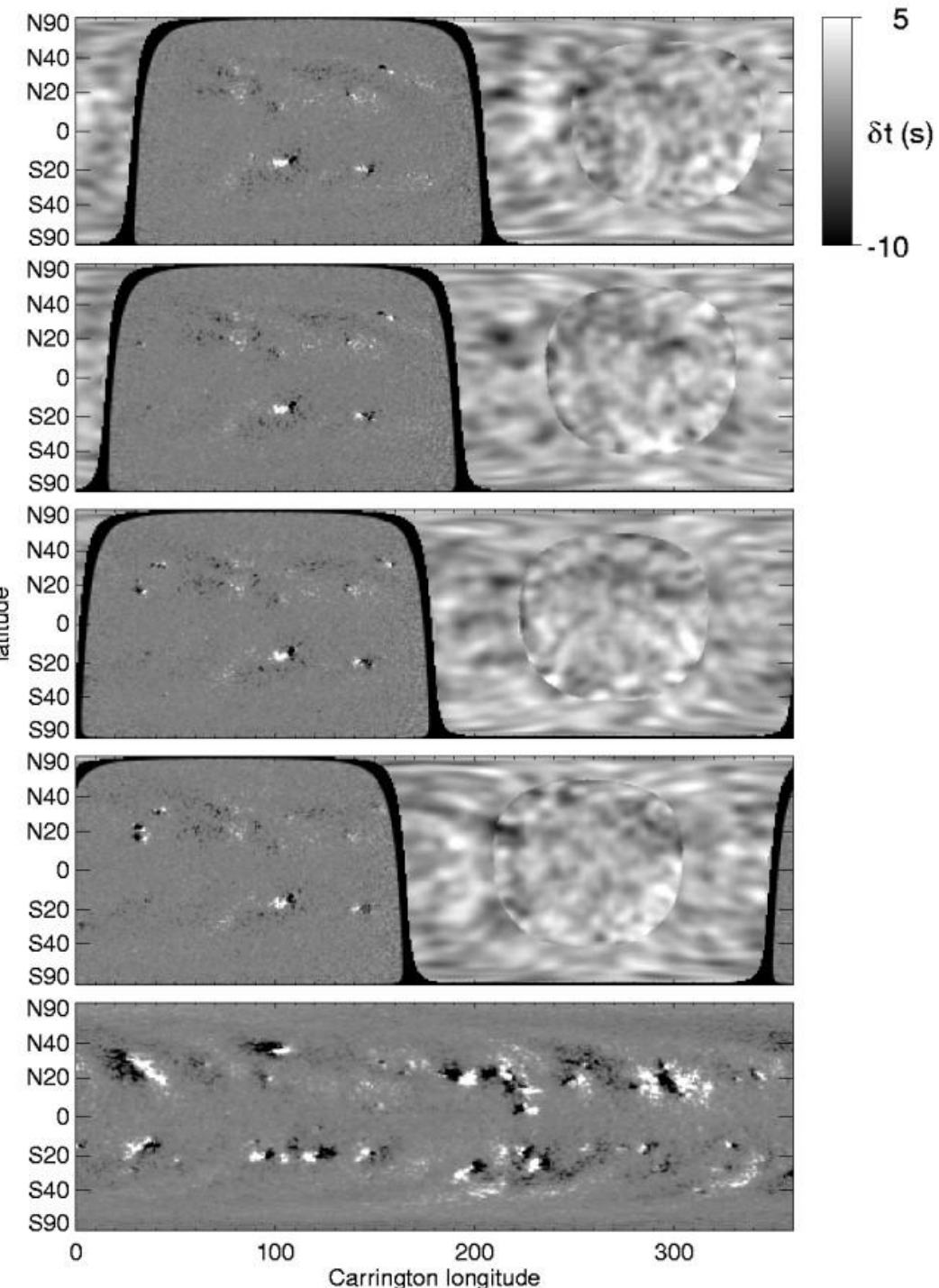
*Images of an active region on the **far side of the Sun** were derived by applying seismic holography to helioseismic observations.*

# Helioseismische holografie

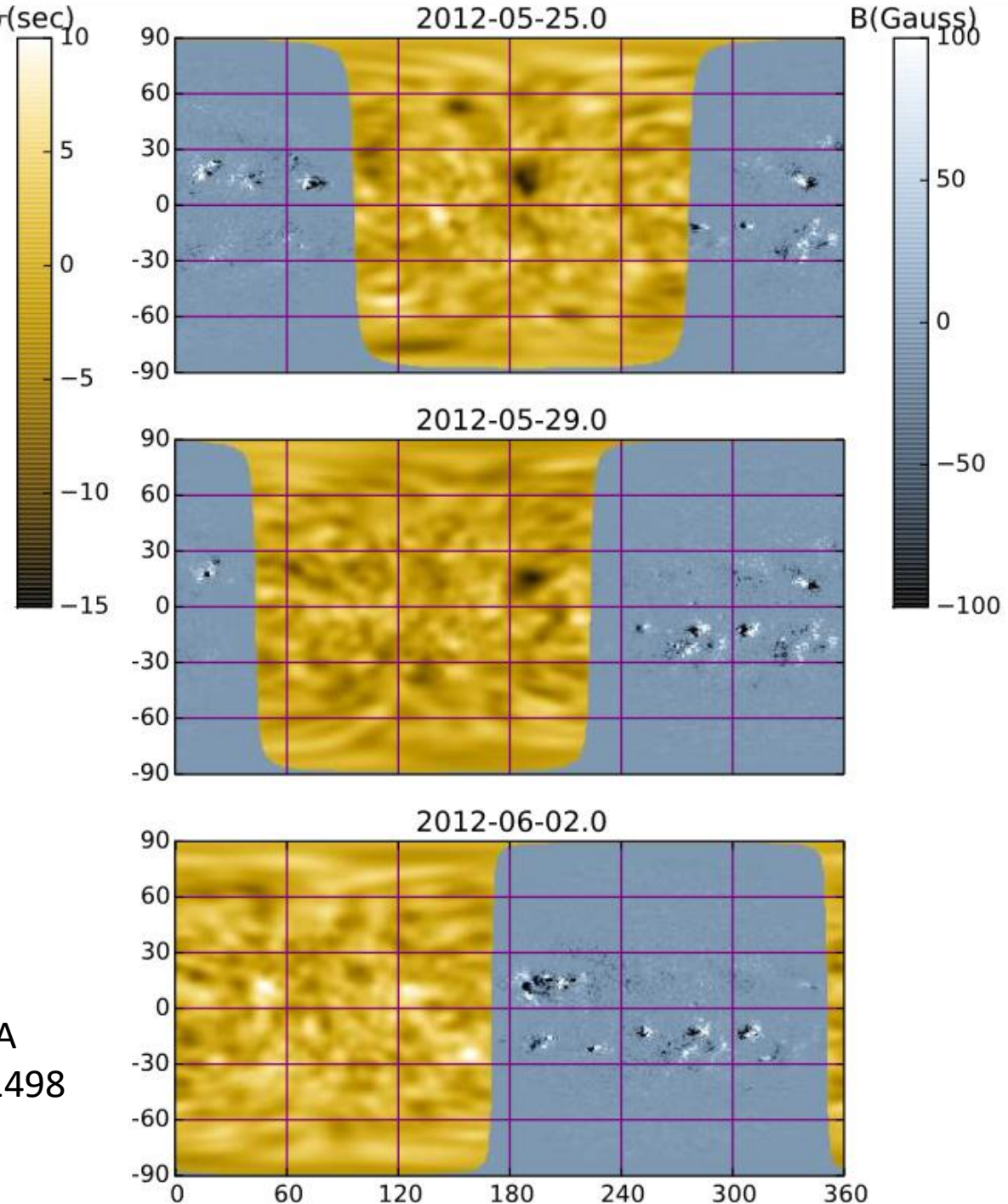


SEISMIC IMAGING OF THE FAR HEMISPHERE OF THE SUN

D. C. BRAUN



NOAA  
AR11498



# Resultaten helioseismologie

- Oplossing neutrino probleem
- Rotatiesnelheid inwendige van de zon
- Inzicht in zonnevlekken cyclus
- Activiteit op de achterkant van de zon
- **Standaard model zon**

## Standaard model zon

- Sferische symmetrie
- Hydrostatisch evenwicht
- Energietransport door straling
- Inwendige energie opwekking door kernreacties
- Geen rotatie
- Geen magnetisch veld

**Standard Solar Model**, Kevin France

*Department of Physics and Astronomy, Johns Hopkins University, Baltimore*

1

Druk:

$$dP/dr = -Gm\rho/r^2$$

$$P = \rho T R/\mu \text{ (ideale gaswet)}$$

2

Temperatuur

$$dT/dr = 3k\rho L / 16\pi acr^2 T^3 \text{ (straling)}$$

$k$  = opaciteit ) of

$$dT/dr = (1 - 1/g) (T/P) dP/dr \text{ (geleiding)}$$

3

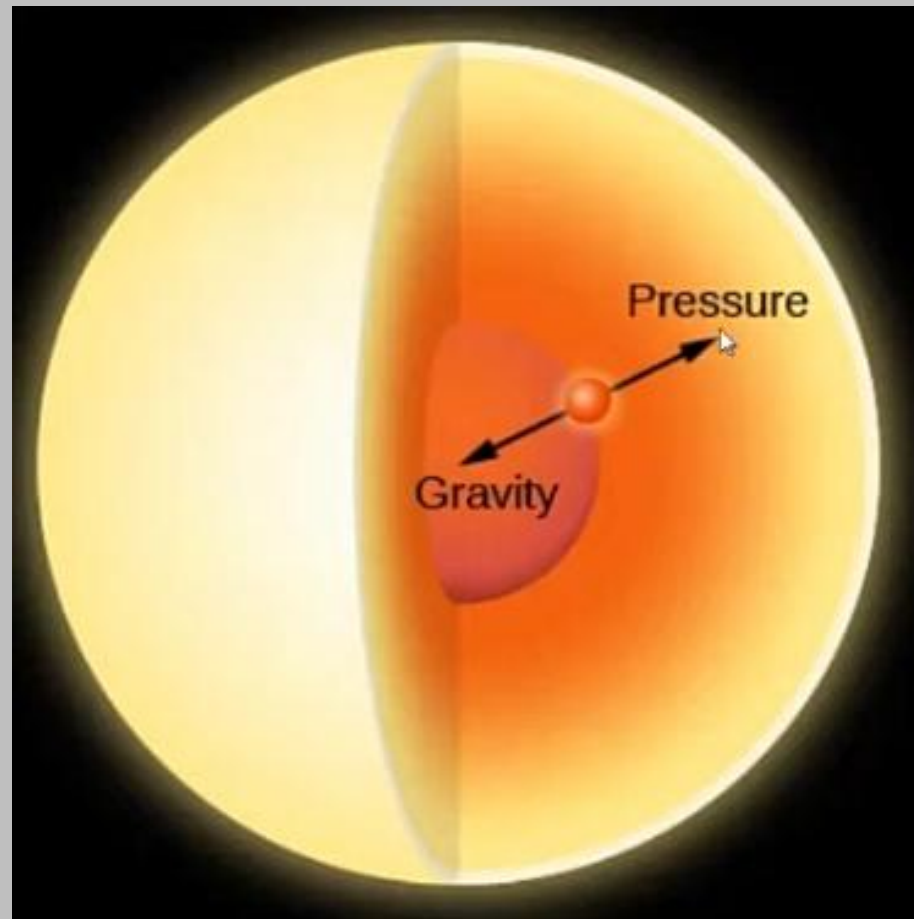
Energieopwekking

$$dL/dr = 4\pi r^2 \rho \epsilon \text{ (kernfusie)}$$

4

Randvoorwaarden:

Lichtkracht, Leeftijd, Straal zon



# Eisen aan een goed standaardmodel

- Diameter (1,4 miljoen km)  $\pm 5 \cdot 10^{-4} R_{\text{zon}}$
- Massa: (2:  $10^{30}$  kg)
- Uitgestraalde energie ( $0.38 \cdot 10^{27}$  W)  $\pm 5 \cdot 10^{-3} E_{\text{zon}}$
- Leeftijd (5,60 Gj)  $\pm 0,1$  Gj

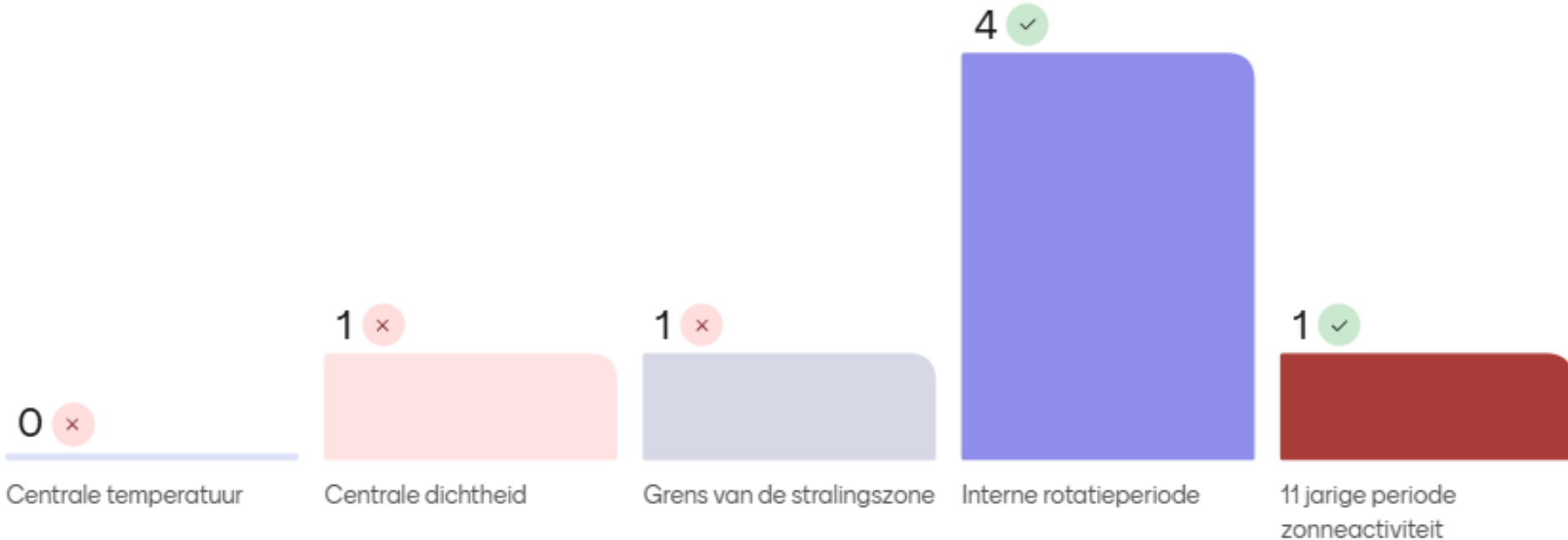
Menti

De zon in de ziel gekken

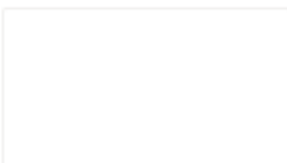
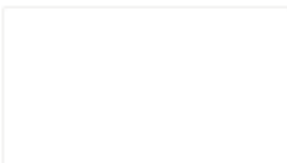
Join at [menti.com](https://menti.com) | use code 5474 7411

Mentimeter

## Welke parameters werden door het standaard model slecht voorspeld?

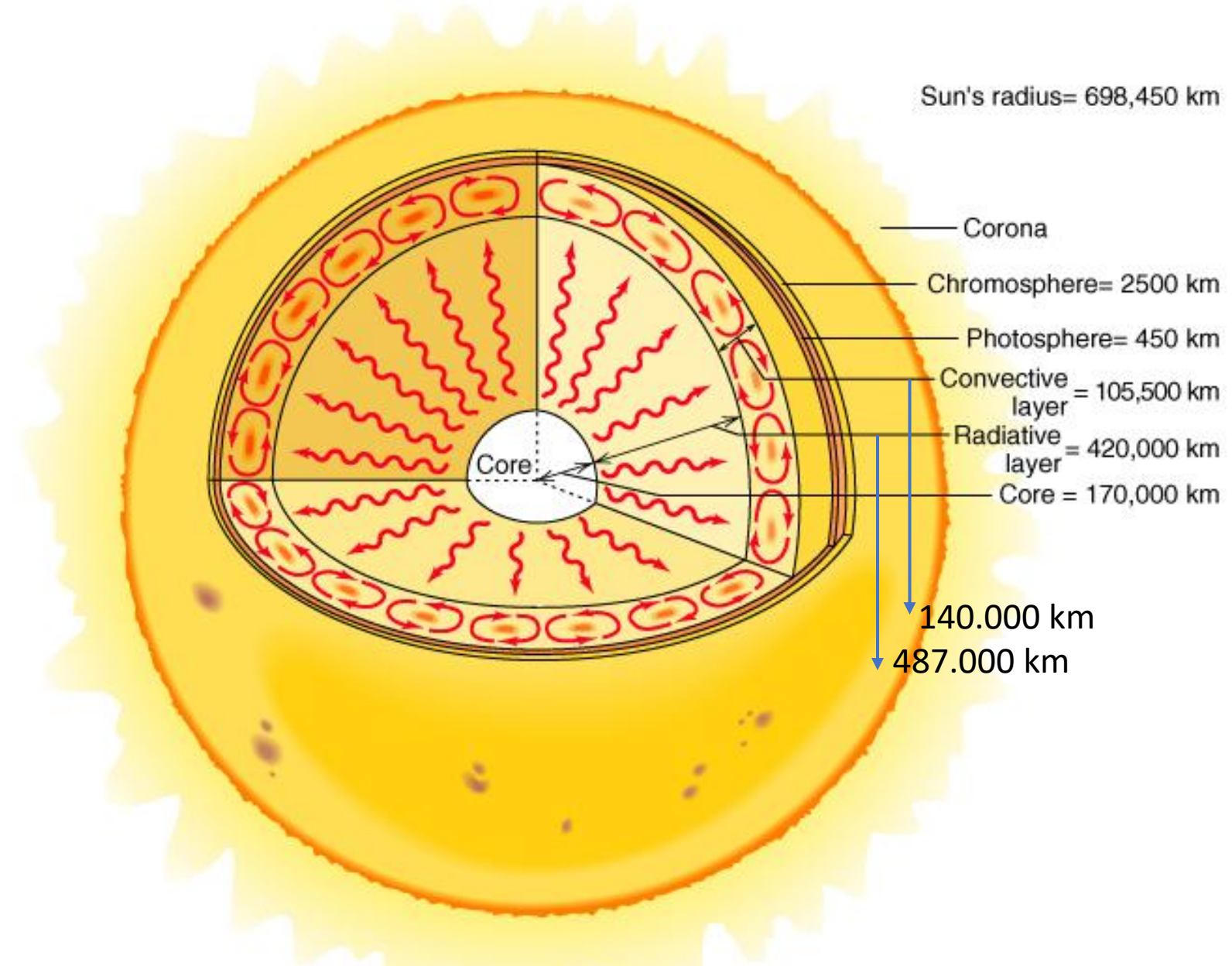


Choose a slide to present



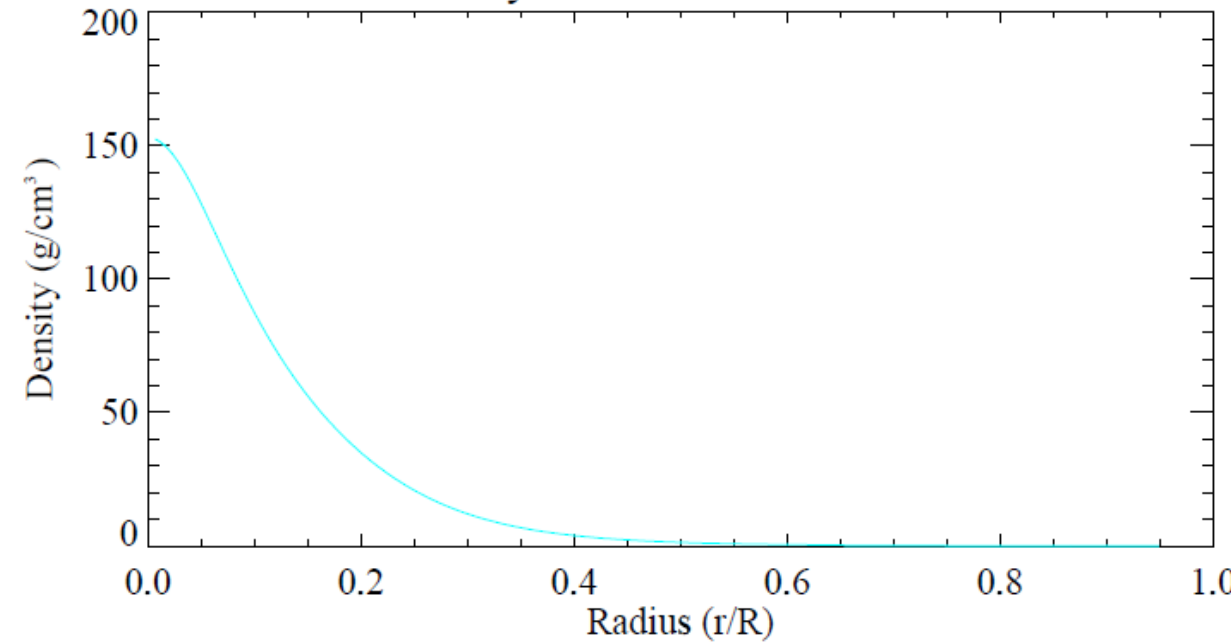
# Inwendige van de zon met en zonder Helioseismologie

	T kern K	$\rho$ kern g/cm <sup>3</sup>	He/H Initieel	He/H oppervlak	Grens Convectiezone
Model SSM (niet seismisch)	$15.54 \cdot 10^6$	150.6	0,2645	0,235	0.713 Rzon
Model SeSM (seismisch)	$15.74 \cdot 10^6$	153.0	0,277	0,250	0,69 -0,73 Rzon

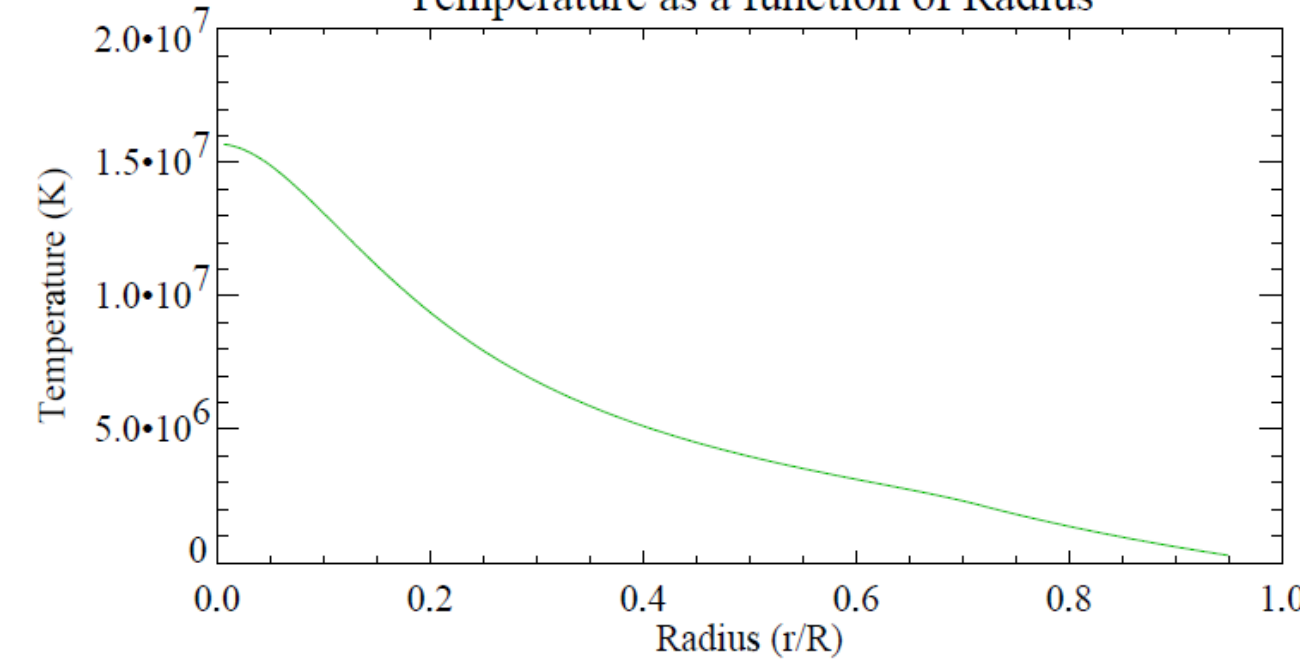


<https://eso.org/public/outreach/eduoff/vt-2004/mt-2003/mt-sun.html#interior>

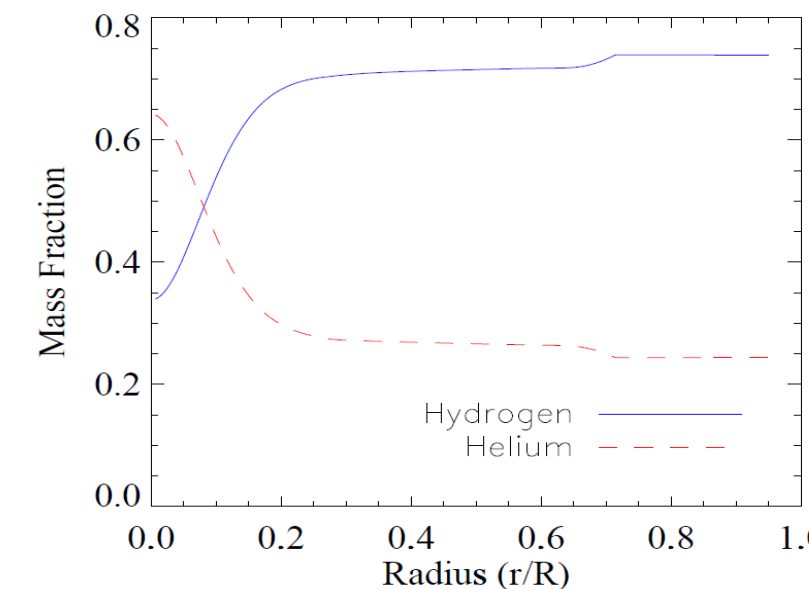
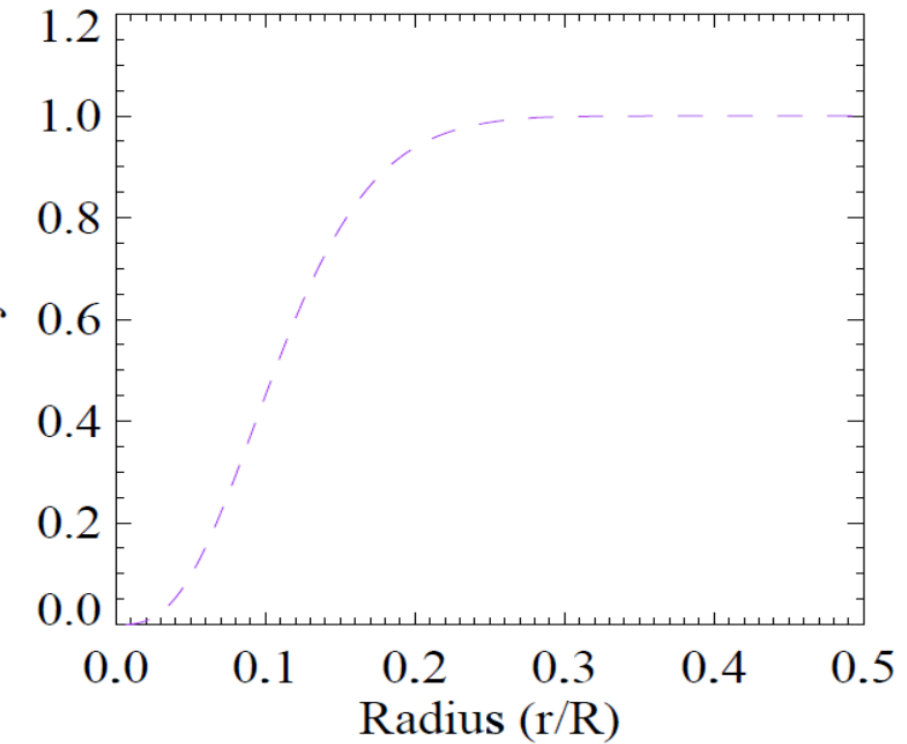
Density as a function of Radius



Temperature as a function of Radius

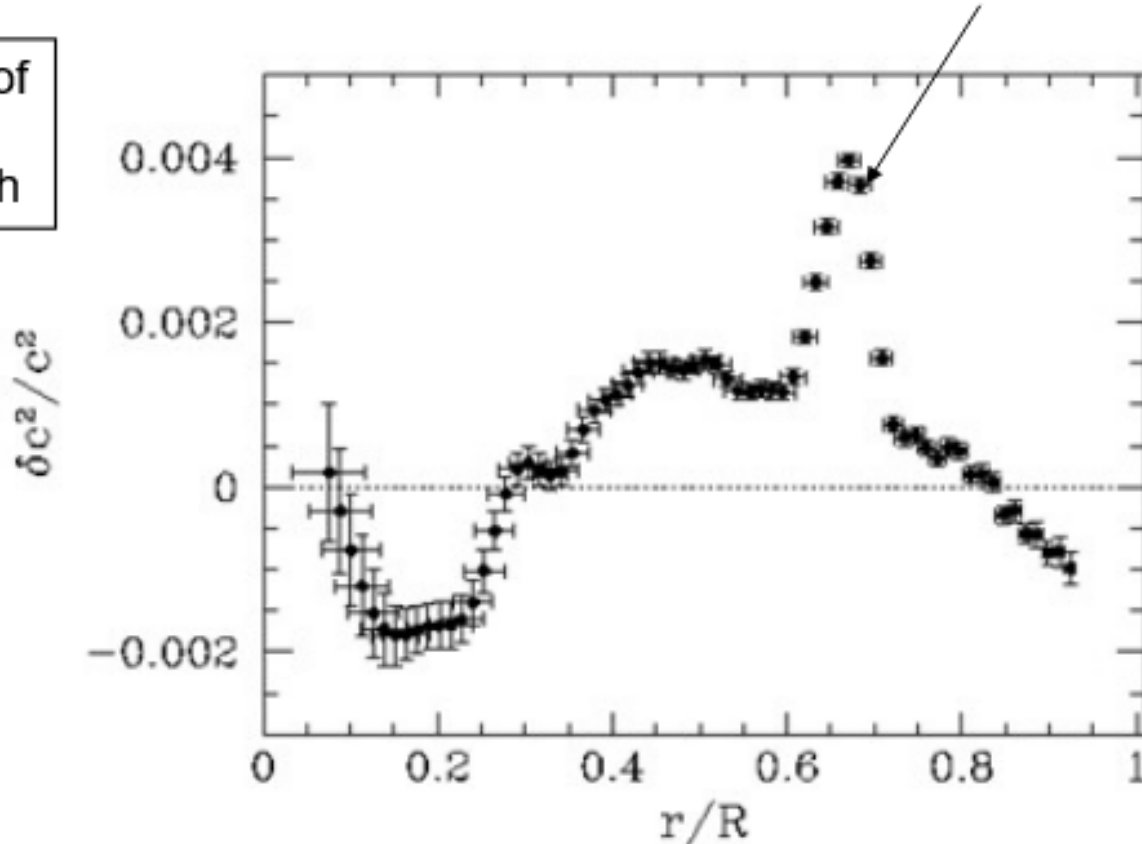


Luminosity Fraction



Note change of scale from previous graph

Possibly due to increased turbulence



Deviations of the observed sound speed from the model. The differences are mostly less than 0.2%

## Wat leeft Helioseismologie ons gebracht

- Het neutrino probleem is een probleem van de neutrino's
- De geluidssnelheid en de dichtheid als functie van de diepte zijn vastgesteld
- De inwendige rotatie van de zon met
- torsie oscillaties samenhangen met de activiteitscyclus van de zon.
- De chemische samenstelling in het inwendige
- Het inwendige energietransport
- Activiteitsgebieden op achterkantkant van de zon in kaart brengen
- De structuur en stroming bij zonnevlekken.

Menti

De zon in de ziel gekken

Choose a slide to present

Wat onthoudt je van deze workshop?

11 responses

Heel interessant

Complex

Verrassende gevoeligheid van de dopplermetingen

Boeiend

Dat er erg slimme mensen rondlopen met briljante ideeën

Dynamische processen in de zon

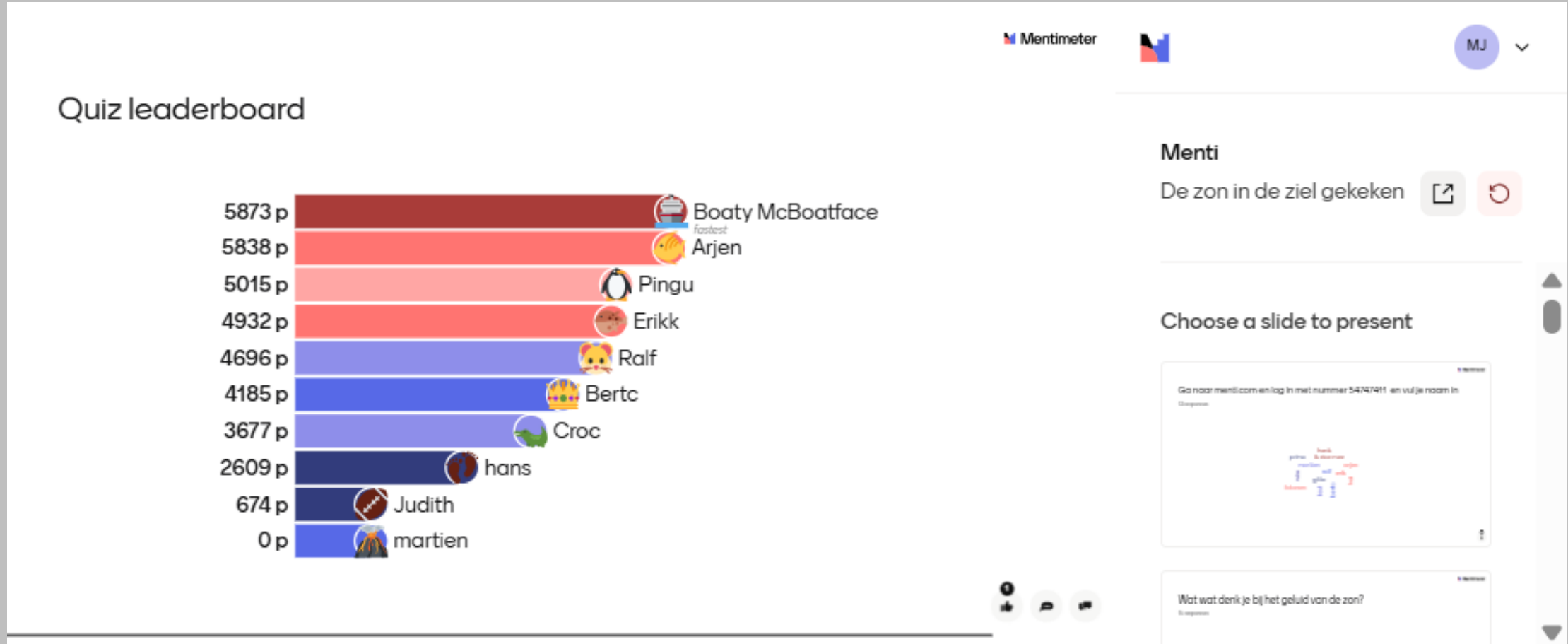
Inzicht in 11 jaar's cyclus

Mooi voorbeeld van interpretatie van fourier componenten

Tevol om op te noemen

De knopen die in de zon en in mijn hoofd zitten.

Heel veel zon heel mooi



# Resultaten helioseismologie

- Oplossing neutrino probleem
- Rotatiesnelheid inwendige van de zon
- Inzicht in zonnevlekken cyclus
- Activiteit op de achterkant van de zon
- Standaardmodel zon
- **Rotatieperiode kern zon 1 week?**

Table I

Frequencies and errors, in  $\mu\text{Hz}$ , as measured by GOLF instrument. Bracketted frequencies are possible identifications with  $S/N < 1$  (see text).

$n$	$\ell = 0$	$\ell = 1$	$\ell = 2$	$\ell = 3$	$\ell = 4$	$\ell = 5$
8		(1329.49 $\pm$ 0.64)	(1393.51 $\pm$ 0.49)			
9	(1407.77 $\pm$ 0.32)	1472.71 $\pm$ 0.13	(1535.95 $\pm$ 0.13)	(1591.57 $\pm$ 0.80)		
10	1548.40 $\pm$ 0.04	1612.74 $\pm$ 0.08	1674.31 $\pm$ 0.21	(1729.68 $\pm$ 1.80)		
11	1686.54 $\pm$ 0.04	1749.29 $\pm$ 0.04	1810.17 $\pm$ 0.16	(1865.26 $\pm$ 1.37)		
12	1822.20 $\pm$ 0.05	1885.08 $\pm$ 0.04	1945.73 $\pm$ 0.09	(2001.21 $\pm$ 0.65)	(2046.30 $\pm$ 1.50)	
13	1957.45 $\pm$ 0.06	2020.81 $\pm$ 0.04	2082.06 $\pm$ 0.07	2137.75 $\pm$ 0.19	(2187.40 $\pm$ 2.00)	
14	2093.51 $\pm$ 0.04	2156.80 $\pm$ 0.09	2217.80 $\pm$ 0.12	2273.23 $\pm$ 0.19	2321.94 $\pm$ 1.00	
15	2228.69 $\pm$ 0.07	2291.80 $\pm$ 0.08	2352.32 $\pm$ 0.08	2407.85 $\pm$ 0.28	2460.10 $\pm$ 1.00	
16	2362.69 $\pm$ 0.08	2425.48 $\pm$ 0.08	2485.89 $\pm$ 0.10	2541.65 $\pm$ 0.14	2593.70 $\pm$ 1.00	
17	2496.04 $\pm$ 0.06	2559.21 $\pm$ 0.08	2619.64 $\pm$ 0.12	2676.19 $\pm$ 0.19	2730.00 $\pm$ 1.00	(2778.10 $\pm$ 0.50)
18	2629.82 $\pm$ 0.08	2693.27 $\pm$ 0.07	2754.43 $\pm$ 0.08	2811.46 $\pm$ 0.11	2864.52 $\pm$ 0.47	2913.70 $\pm$ 0.30
19	2764.05 $\pm$ 0.07	2828.01 $\pm$ 0.10	2889.64 $\pm$ 0.08	2946.95 $\pm$ 0.12	3000.94 $\pm$ 0.53	3050.20 $\pm$ 0.30
20	2898.83 $\pm$ 0.07	2963.33 $\pm$ 0.08	3024.65 $\pm$ 0.09	3082.28 $\pm$ 0.14	3137.24 $\pm$ 0.49	(3185.77 $\pm$ 0.30)
21	3033.68 $\pm$ 0.06	3098.10 $\pm$ 0.08	3159.91 $\pm$ 0.09	3217.91 $\pm$ 0.15	3274.01 $\pm$ 0.77	
22	3168.53 $\pm$ 0.06	3233.22 $\pm$ 0.08	3295.22 $\pm$ 0.13	3353.88 $\pm$ 0.48	3410.00 $\pm$ 1.50	
23	3303.22 $\pm$ 0.09	3368.55 $\pm$ 0.09	3430.97 $\pm$ 0.15	3490.24 $\pm$ 0.67	3547.60 $\pm$ 2.00	
24	3438.72 $\pm$ 0.12	3503.86 $\pm$ 0.14	3566.62 $\pm$ 0.24	3626.21 $\pm$ 0.71	3686.70 $\pm$ 2.00	
25	3574.50 $\pm$ 0.16	3640.02 $\pm$ 0.20	3703.23 $\pm$ 0.43	3763.05 $\pm$ 2.30		
26	3710.54 $\pm$ 0.51	3776.46 $\pm$ 0.25	3838.99 $\pm$ 0.79	3901.29 $\pm$ 2.00		
27	3846.77 $\pm$ 0.27	3913.53 $\pm$ 0.32	3977.19 $\pm$ 0.86	4036.00 $\pm$ 2.25		
28	3984.09 $\pm$ 0.60	4049.20 $\pm$ 0.40	4113.82 $\pm$ 1.75	4173.55 $\pm$ 3.05		
29	4119.95 $\pm$ 0.91	4186.25 $\pm$ 0.51	4250.88 $\pm$ 2.16	4309.66 $\pm$ 3.30		
30	4258.79 $\pm$ 1.94	4325.00 $\pm$ 0.66	4389.01 $\pm$ 2.13	4450.00 $\pm$ 3.50		
31	4395.22 $\pm$ 2.07	4462.28 $\pm$ 1.84	4527.00 $\pm$ 3.00			
32	4535.00 $\pm$ 2.62	4600.42 $\pm$ 1.52				
33	4672.70 $\pm$ 3.00	4736.60 $\pm$ 2.00				
34	4808.00 $\pm$ 3.00	4876.50 $\pm$ 2.00				